



ITS
Institut
Teknologi
Sepuluh Nopember

TUGAS AKHIR - KI141502

IMPLEMENTASI *VELOCITY AWARE* AOMDV MENGGUNAKAN NS-2 PADA LINGKUNGAN VANET

I PUTU PRADNYANA
NRP 5112100128

Dosen Pembimbing I
Dr. Radityo Anggoro , S.Kom.,M.Sc.

Dosen Pembimbing II
Ir. F.X. Arunanto, M.Sc.

JURUSAN TEKNIK INFORMATIKA
Fakultas Teknologi Informasi
Institut Teknologi Sepuluh Nopember
Surabaya, 2016



TUGAS AKHIR - KI141502

IMPLEMENTASI *VELOCITY AWARE* AOMDV MENGGUNAKAN NS-2 PADA LINGKUNGAN VANET

I PUTU PRADNYANA
NRP 5112100128

Dosen Pembimbing I
Dr. Radityo Anggoro , S.Kom.,M.Sc.

Dosen Pembimbing II
Ir. F.X. Arunanto, M.Sc.

JURUSAN TEKNIK INFORMATIKA
Fakultas Teknologi Informasi
Institut Teknologi Sepuluh Nopember
Surabaya, 2016

Halaman ini sengaja dikosongkan



UNDERGRADUATE THESIS - KI141502

IMPLEMENTATION OF VELOCITY AWARE AOMDV USING NS-2 IN VANET ENVIRONMENT

I PUTU PRADNYANA
NRP 5112100128

Supervisor I
Dr. Radityo Anggoro , S.Kom.,M.Sc.

Supervisor II
Ir. F.X. Arunanto, M.Sc.

DEPARTMENT OF INFORMATICS
Faculty of Information Technology
Institut Teknologi Sepuluh Nopember
Surabaya, 2016

Halaman ini sengaja dikosongkan

**IMPLEMENTASI *VELOCITY AWARE* AOMDV
MENGUNAKAN NS-2 PADA LINGKUNGAN VANET**

TUGAS AKHIR

Diajukan Guna Memenuhi Salah Satu Syarat
Memperoleh Gelar Sarjana Komputer
pada
Bidang Studi Arsitektur dan Jaringan Komputer
Program Studi S1 Jurusan Teknik Informatika
Fakultas Teknologi Informasi
Institut Teknologi Sepuluh Nopember

Oleh :

I Putu Pradnyana
NRP: 5112100128

Disetujui oleh Dosen Pembimbing Tugas Akhir :

Dr. Radityo Anggoro, S.Kom
NIP: 19841016 200812 1 002 (Pembimbing 1)

Ir. F.X. Arunanto, M.Sc.
NIP: 19570101 198303 1 004 (Pembimbing 2)



SURABAYA
Mei 2016

Halaman ini sengaja dikosongkan

IMPLEMENTASI *VELOCITY AWARE* AOMDV MENGUNAKAN NS-2 PADA LINGKUNGAN VANET

Nama : I PUTU PRADNYANA
NRP : 5112100128
Jurusan : Teknik Informatika FTIf
Pembimbing I : Dr. Radityo Anggoro , S.Kom.,M.Sc.
Pembimbing II : Ir. F.X. Arunanto, M.Sc.

Abstrak

Topologi jaringan pada VANET berubah dengan sangat cepat sehingga *routing protocol* yang digunakan harus sangat adaptif terhadap perubahan. AOMDV adalah sebuah varian dari AODV yang memberikan lebih dari satu jalur dari sumber ke tujuan. Tetapi dalam kondisi topologi yang berubah dengan cepat pada VANET implementasi AOMDV harus lebih dioptimasi. Salah satu variabel yang dapat digunakan untuk mengoptimasi kinerja AOMDV adalah kecepatan kendaraan.

Dalam buku tugas akhir ini penulis menjelaskan implementasi dari HM-AOMDV (*High Mobility Ad hoc On-Demand Multipath Distance Vector*) dalam NS-2. HM-AOMDV adalah implementasi AOMDV yang menggunakan kecepatan kendaraan sebagai variabel optimasi. HM-AOMDV menggunakan jumlah *hop* dan kecepatan relatif dari tiap kendaraan untuk memilih rute terbaik untuk mengirim data.

Dari uji coba yang dilakukan, HM-AOMDV memberikan rata-rata PDR (*Packet Delivery Ratio*) hingga lebih baik 8,5% hingga 10% dibandingkan AOMDV.

Kata-Kunci: VANET, AOMDV, NS-2, HM-AOMDV.

Halaman ini sengaja dikosongkan

IMPLEMENTATION OF VELOCITY AWARE AOMDV USING NS-2 IN VANET ENVIRONMENT

Name : I PUTU PRADNYANA
NRP : 5112100128
Major : Informatics FTIF
Supervisor I : Dr. Radityo Anggoro , S.Kom.,M.Sc.
Supervisor II : Ir. F.X. Arunanto, M.Sc.

Abstract

Topology in VANET is changing very fast making the routing protocol used had to be very adaptive to changes. AOMDV is a variant of AODV that implement multiple path from source to destination. But in the quickly ever changing topology of VANET the AOMDV implementatin have to be optimized. One variable that can be used to optimize AOMDV is the vehicles speed.

In this thesis writer explain the implementation of HM-AOMDV (High Mobility Ad hoc On-Demand Multipath Distance Vector) in NS-2. HM-AOMDV is AOMDV implementation that use the vehicles speed as an optimization variable. HM-AOMDV uses hop count and relative speed of the vehicles to choose the best route to send data.

The result of experiment pointed that the average PDR (Packet Delivery Ratio) of HM-AOMDV are 8,5% to 10% better than AOMDV.

Keywords: VANET, AOMDV, NS-2, HM-AOMDV.

Halaman ini sengaja dikosongkan

DAFTAR ISI

ABSTRAK	vii
ABSTRACT	ix
Kata Pengantar	xi
1 PENDAHULUAN	1
1.1 Latar Belakang	1
1.2 Rumusan Masalah	2
1.3 Batasan Masalah	2
1.4 Tujuan	3
1.5 Manfaat	3
1.6 Metodologi	3
1.7 Sistematika Penulisan	4
2 TINJAUAN PUSTAKA	7
2.1 <i>Vehicular Ad hoc Network</i> (VANET)	7
2.2 <i>High Mobility Ad hoc On-Demand Multipath Distance Vector</i> (HM-AOMDV)	9
2.2.1 AODV	9
2.2.2 AOMDV	12
2.2.3 HM-AOMDV	13
2.3 <i>Simulation of Urban Mobility</i> (SUMO)	17
2.4 OpenStreetMap	18
2.5 JOSM	19
2.6 AWK	19
2.7 <i>Network Simulator 2</i> (NS-2)	19
2.7.1 Instalasi NS-2	20
2.7.2 Penggunaan Skrip OTel	23
2.7.3 NS-2 <i>Trace File</i>	24

3	PERANCANGAN	29
3.1	Deskripsi Umum	29
3.2	Perancangan Skenario Mobilitas	30
3.3	Perancangan Simulasi pada NS-2	31
3.4	Perancangan Metrik Analisis	32
3.4.1	<i>Packet Delivery Ratio</i> (PDR)	33
3.4.2	<i>Normalized Routing Overhead</i> (RO)	33
3.4.3	<i>Error Rate</i> (ER)	33
3.4.4	Rata-rata <i>End-to-End Delay</i> (E2E)	33
4	IMPLEMENTASI	35
4.1	Lingkungan Pembangunan Perangkat Lunak	35
4.1.1	Lingkungan Perangkat Lunak	35
4.1.2	Lingkungan Perangkat Keras	35
4.2	Implementasi Skenario Mobilitas	35
4.3	Implementasi Protokol HM-AOMDV	39
4.3.1	Implementasi Struktur Data HELLO dan RREP	41
4.3.2	Modifikasi <i>Class</i> AOMDV	41
4.3.3	Modifikasi Proses Pengiriman HELLO	43
4.3.4	Modifikasi Proses Penerimaan HELLO	44
4.3.5	Modifikasi Proses Penerimaan RREP	45
4.4	Implementasi Metrik Analisis	45
4.4.1	Implementasi PDR	47
4.4.2	Implementasi <i>Normalized Routing Overhead</i> dan <i>Error Rate</i>	48
4.4.3	Implementasi <i>End-to-End Delay</i> (E2E)	48
4.5	Implementasi Simulasi pada NS-2	49
5	UJI COBA DAN EVALUASI	53
5.1	Lingkungan Uji Coba	53
5.2	Uji Coba Peta I	53
5.2.1	Parameter Uji Coba Peta I	54
5.2.2	Hasil Uji Coba Peta I	54
5.3	Uji Coba Peta II	59

5.3.1	Parameter Uji Coba Peta II	59
5.3.2	Hasil Uji Coba Peta II	59
6	PENUTUP	65
6.1	Kesimpulan	65
6.2	Saran	65
	DAFTAR PUSTAKA	67
	LAMPIRAN	69
A.1	Kode skenario NS-2	69
A.2	Kode <i>awk</i> untuk menghitung <i>packet delivery ratio</i> .	73
A.3	Kode <i>awk</i> untuk menghitung <i>normalized routing over-</i> <i>head</i> dan <i>error rate</i>	74
A.4	Kode <i>awk</i> untuk menghitung <i>end-to-end delay</i> . . .	75
A.5	Kode implementasi HELLO dan RRER pada HM- AOMDV	76
A.6	Kode implementasi <code>AOMDV::sendHello</code>	78
A.7	Kode implementasi <code>AOMDV::recvHello</code>	80
A.8	Kode implementasi <code>AOMDV::recvReply</code>	82
A.9	Kode implementasi <code>aomdv_rt_entry::path_insert</code>	92
A.10	Kode untuk mencetak rute yang dilalui oleh paket data	94
	BIODATA PENULIS	95

Halaman ini sengaja dikosongkan

DAFTAR TABEL

2.1	Struktur paket HELLO dan RREP pada HM-AOMDV[1]	13
3.1	Parameter lingkungan simulasi	31
4.1	Penjelasan dari parameter node-config	50
5.1	Spesifikasi komputer yang digunakan	53
5.2	Parameter simulasi Peta I	54
5.3	Parameter simulasi Peta II	59

Halaman ini sengaja dikosongkan

DAFTAR GAMBAR

2.1	<i>Ad Hoc Routing Protocol</i> [2]	7
2.2	Ilustrasi VANET[3]	8
2.3	Proses <i>Route Discovery</i> pada AODV	11
2.4	Ilustrasi penghitungan nilai <i>Mf</i>	15
2.5	Flowchart penanganan paket RREP pada HM-AOMDV[1]	16
2.6	Perintah untuk menginstall dependensi NS-2 pada distribusi Debian	20
2.7	Perintah untuk mengunduh dan mengekstrak NS-2	21
2.8	Setting pada Instalasi NS-2	22
2.9	Hasil instalasi NS-2	23
2.10	Potongan kode pengaturan lingkungan simulasi VANET	25
2.11	Contoh sampel tipe paket pada <i>trace file</i> NS-2	26
3.1	Diagram rancangan simulasi	29
3.2	Alur pembuatan skenario mobilitas	32
4.1	Proses ekspor peta dari OpenStreetMap	36
4.4	Perintah untuk melakukan konversi <i>file .osm</i> ke <i>.net.xml</i>	36
4.2	Proses <i>editing</i> peta pada JOSM	37
4.3	Hasil <i>editing</i> peta menggunakan JOSM	37
4.5	Perintah untuk membuat titik awal dan akhir untuk setiap kendaraan	38
4.6	Perintah untuk membuat rute kendaraan	38
4.7	Isi dari <i>file .sumocfg</i>	39
4.8	Cuplikan simulasi pada <i>sumo-gui</i>	40
4.9	Perintah simulasi SUMO dan konversi ke <i>file tcl</i>	40
4.10	Implementasi <i>struct HELLO</i> dan RREP pada NS-2	42
4.11	Gambaran mengenai perubahan yang dilakukan pada <i>aomdv.h</i>	43
4.12	Gambaran perubahan pada <i>method AOMDV::sendHello</i>	45
4.13	Pseudocode dalam memproses RREP yang diterima	46

4.14	Perintah untuk menjalankan skrip awk untuk menghitung PDR	47
4.15	<i>Output</i> dari skrip PDR.awk	47
4.16	Perintah untuk menjalankan skrip awk untuk menghitung <i>normalized routing overhead</i> dan <i>error rate</i>	48
4.17	<i>Output</i> dari skrip overhead.awk	48
4.18	Perintah untuk menjalankan skrip awk untuk menghitung E2E	49
4.19	<i>Output</i> dari skrip e2e.awk	49
5.1	Grafik PDR dari Peta I	55
5.2	Grafik <i>normalized routing overhead</i> dari Peta I	56
5.3	Grafik <i>error rate</i> dari Peta I	57
5.4	Grafik <i>end-to-end delay</i> dari Peta I	58
5.5	Grafik PDR dari Peta II	60
5.6	Grafik <i>normalized routing overhead</i> dari Peta II	61
5.7	Grafik <i>error rate</i> dari Peta II	62
5.8	Grafik <i>end-to-end delay</i> dari Peta II	63

BAB 1

PENDAHULUAN

Bab ini membahas garis besar penyusunan Tugas Akhir yang meliputi latar belakang, tujuan pembuatan, rumusan dan batasan permasalahan, metodologi penyusunan Tugas Akhir dan sistematika penulisan.

1.1 Latar Belakang

Seiring dengan kemajuan teknologi, aspek komunikasi antar komputer menjadi semakin penting. Salah satu cara komputer dapat berkomunikasi satu sama lain adalah dengan menggunakan jaringan *ad hoc*. Dalam jaringan *ad hoc* setiap komputer terkoneksi satu sama lain secara langsung tanpa bergantung kepada infrastruktur yang sudah ada seperti *router* atau *access point*. [4] Penentuan *node* mana yang akan meneruskan data dilakukan secara dinamis berdasarkan konektivitas jaringan. Karena karakteristik tersebut jaringan *ad hoc* cocok diaplikasikan dimana topologi jaringan mudah berubah sehingga *central node* tidak dapat diandalkan. Salah satu sistem yang bergantung pada jaringan *ad hoc* adalah "*Intelligent Transportation System*" [5] dalam bentuk VANET [6].

Terdapat beberapa buah *routing protocol* yang dapat digunakan dalam lingkungan VANET, salah satunya adalah AOMDV [7]. AOMDV adalah *routing protocol* yang merupakan ekstensi dari AODV [8]. AOMDV membuat beberapa jalur yang bersifat *loop-free* dan *link-disjoint* yang menghubungkan pengirim dan penerima. [7] Oleh karena itu jika jalur utama yang digunakan untuk mengirim data terputus, jaringan dapat dengan mudah mengganti jalur pengganti dari beberapa jalur *backup* yang telah tersedia.

Tetapi protokol AOMDV masih hanya bergantung pada jumlah hop pada pemilihan jalur. Salah satu usaha untuk memberikan aspek *velocity aware* AOMDV adalah HM-AOMDV (*High Mobility Ad hoc On-Demand Distance Vector*). Optimasi yang diajukan pada

HM-AOMDV adalah dengan menggunakan jumlah *hop* dan kecepatan relatif antar kendaraan untuk memilih *next hop* pada *routing table*. [1]

Dalam Tugas Akhir ini penulis akan mengimplementasikan *routing protocol* HM-AOMDV pada *network simulator* NS-2[9]. Penulis akan mengujicoba dan membandingkan performa HM-AOMDV pada beberapa peta skenario yang didasarkan pada data yang terdapat pada OpenStreetMap[10]. Simulasi akan dilakukan dengan standar deviasi kecepatan kendaraan 10% dan 15% kecepatan standar dari jalur kendaraan. Dari simulasi tersebut akan didapatkan kesimpulan terhadap kemampuan adaptasi protokol HM-AOMDV dibandingkan dengan AOMDV pada skenario dimana kendaraan memiliki kecepatan yang berbeda beda. Hasil dari simulasi ini juga dapat menjadi dasar untuk mengoptimasi protokol AOMDV lebih jauh lagi.

1.2 Rumusan Masalah

Berikut ini adalah rumusan masalah yang diangkat pada Tugas Akhir ini:

1. Bagaimana cara mengimplementasikan protokol HM-AOMDV dan AOMDV pada peta daerah di Surabaya?
2. Bagaimana perbedaan performa antara AOMDV dan HM-AOMDV pada skenario yang telah disiapkan?
3. Bagaimana cara mengimplementasikan protokol HM-AOMDV pada lingkungan NS-2?

1.3 Batasan Masalah

Permasalahan yang dibahas pada Tugas Akhir ini memiliki beberapa batasan, yaitu:

1. Protokol yang diimplementasikan adalah HM-AOMDV.
2. Protokol yang diujicobakan adalah AOMDV dan HM-AOMDV.

3. Pembuatan skenario simulasi VANET dilakukan dengan menggunakan SUMO.
4. Data peta Surabaya diambil dari OpenStreetMap.

1.4 Tujuan

Berikut merupakan tujuan dari Tugas Akhir ini, yaitu:

1. Mengetahui pengaruh kecepatan antar kendaraan terhadap stabilitas koneksi pada lingkungan VANET.
2. Mendapatkan faktor lain yang dapat digunakan untuk memperkirakan stabilitas koneksi.

1.5 Manfaat

Manfaat dari pengerjaan Tugas Akhir ini adalah:

1. Menjadi acuan untuk optimasi lebih lanjut pada protokol AOMDV.
2. Memberikan gambaran mengenai faktor - faktor yang dapat diperhatikan dalam mendesain *routing protocol* pada lingkungan VANET.

1.6 Metodologi

Adapun langkah - langkah yang ditempuh dalam pengerjaan Tugas Akhir ini adalah sebagai berikut:

1. Penyusunan proposal Tugas Akhir
Tahap awal untuk memulai pengerjaan Tugas Akhir adalah penyusunan proposal Tugas Akhir. Pada proposal tersebut dijelaskan secara garis besar tentang alur pembuatan sistem.
2. Studi literatur
Pada tahap ini dilakukan studi literatur mengenai alat dan metode yang digunakan. Literatur yang dipelajari dan digunakan meliputi buku referensi, artikel, jurnal dan dokumentasi dari internet.

3. Implementasi protokol

Tahap ini meliputi perancangan sistem berdasarkan studi literatur dan pembelajaran konsep teknologi dari perangkat lunak yang ada. Tahap ini merupakan tahap yang paling penting dimana bentuk awal aplikasi yang akan diimplementasikan didefinisikan. Pada tahapan ini dibuat prototype sistem, yang merupakan rancangan dasar dari sistem yang akan dibuat. Serta dilakukan desain suatu sistem dan desain proses-proses yang ada.

4. Uji coba dan evaluasi

Pada tahapan ini dilakukan uji coba terhadap aplikasi yang telah dibuat. Pengujian dan evaluasi akan dilakukan dengan melihat kesesuaian dengan perencanaan. Tahap ini dimaksudkan juga untuk mengevaluasi jalannya sistem, mencari masalah yang mungkin timbul dan mengadakan perbaikan jika terdapat kesalahan.

5. Penyusunan buku Tugas Akhir

Pada tahapan ini disusun buku sebagai dokumentasi dari pelaksanaan tugas akhir.

1.7 Sistematika Penulisan

Buku Tugas Akhir ini disusun dengan sistematika penulisan sebagai berikut:

BAB I. PENDAHULUAN

Bab yang berisi mengenai latar belakang, tujuan, dan manfaat dari pembuatan Tugas Akhir. Selain itu permasalahan, batasan masalah, metodologi yang digunakan, dan sistematika penulisan juga merupakan bagian dari bab ini.

BAB II. TINJAUAN PUSTAKA

Bab ini berisi penjelasan secara detail mengenai dasar-dasar penunjang untuk mendukung pembuatan tugas akhir ini.

BAB III. PERANCANGAN

Bab ini berisi perancangan metode yang nantinya akan diimplementasikan dan dilakukan uji coba.

BAB IV. IMPLEMENTASI

Bab ini membahas implementasi dari desain yang telah dibuat pada bab sebelumnya. Penjelasan berupa implementasi mobilitas vehicular, konfigurasi sistem dan skrip analisis yang digunakan untuk menguji performa protokol routing.

BAB V. UJI COBA DAN EVALUASI

Bab ini menjelaskan tahap pengujian sistem dan pengujian performa dalam skenario mobilitas vehicular yang dibuat.

BAB VI. PENUTUP

Bab ini merupakan bab terakhir yang menyampaikan kesimpulan dari hasil uji coba yang dilakukan terhadap rumusan masalah yang ada dan saran untuk pengembangan lebih lanjut.

Halaman ini sengaja dikosongkan

BAB 2

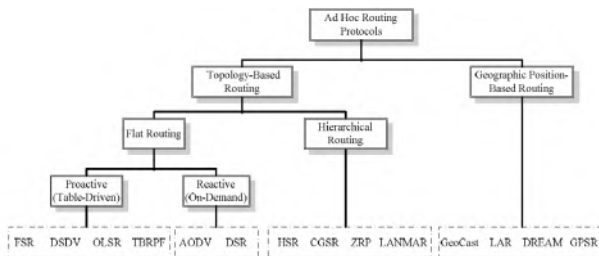
TINJAUAN PUSTAKA

Bab ini berisi penjelasan teori-teori yang berkaitan dengan pengimplementasian perangkat lunak. Penjelasan ini bertujuan untuk memberikan gambaran secara umum terhadap protokol routing, alat, serta definisi yang digunakan dalam pembuatan Tugas Akhir.

2.1 *Vehicular Ad hoc Network (VANET)*

VANET merupakan pengembangan teknologi dari *Mobile Ad Hoc Network* MANET yang mempertimbangkan semua kendaraan dalam jaringan sebagai *node* untuk berkomunikasi dengan kendaraan lainnya pada cakupan tertentu dengan menjadikan kendaraan berperan sebagai *router*.

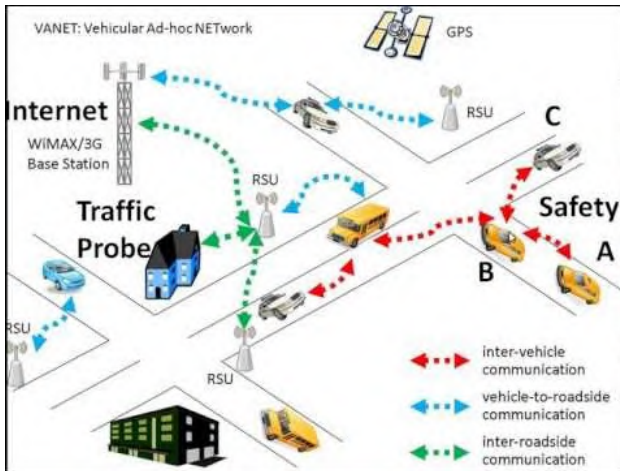
Pada VANET maupun MANET, *node* yang bergerak bergantung pada *ad hoc routing protocol* untuk menentukan bagaimana mengirim pesan kepada node tujuan. Hal ini menunjukkan bahwa protokol yang digunakan memiliki peranan penting dalam jaringan nirkabel dan tingkat kesulitannya bergantung kepada kecepatan dan lingkungannya. Sebagaimana diilustrasikan pada gambar 2.1, *ad hoc routing protocol* dapat diklasifikasikan menjadi dua kategori yaitu *Topology-Based Routing* dan *Geographic Position-Based Routing*.



Gambar 2.1: *Ad Hoc Routing Protocol*[2]

Namun, VANET memiliki karakter yang berbeda dari MANET. Batasan pergerakan dan kecepatan yang tinggi menciptakan keunikan karakteristik VANET. Karakter inilah yang memegang peranan penting untuk menentukan desain jaringan seperti apakah yang akan dibuat.

Terdapat dua jenis *node* yang tergabung pada VANET, yaitu RSU (*Road-side Unit*) dan OBU (*On-board Unit*) dan karenanya, ada dua tipe komunikasi yang memungkinkan dengan VANET, yaitu antara kendaraan (yang mempunyai OBU) dengan kendaraan dan antara kendaraan dengan RSU seperti pada gambar 2.2. RSU merupakan *node* yang terpasang pada beberapa bagian jalan yang nantinya dapat terhubung dengan jaringan *backbone* untuk memberikan informasi - informasi penting kepada OBU. Contoh informasi yang dapat diberikan oleh RSU adalah batas kecepatan, status lampu lalu - lintas, keberadaan infrastruktur penting dan lain - lain. Selain itu RSU juga dapat memberikan jaringan internet kepada OBU yang terhubung.



Gambar 2.2: Ilustrasi VANET[3]

OBU merupakan *node* yang bergerak atau dalam kata lain kendaraan yang berada di jalan. Informasi yang dapat diberikan oleh OBU diantaranya adalah kecepatan, status rem, sudut kemudi, lampu sen dan kondisi lalu lintas. Dari komunikasi antar OBU, pengendara dapat mengambil tindakan awal jika terindikasi terdapat situasi abnormal pada lalu - lintas.

Agar komunikasi antar *node* pada VANET dapat berjalan dengan lancar, diperlukan sebuah *routing protocol* yang dapat beradaptasi dengan karakteristik VANET yang sudah dijelaskan tadi. Pada Tugas Akhir ini penulis akan mengimplementasikan *routing protocol* HM-AOMDV pada NS-2 dan menguji performa protokol tersebut pada lingkungan VANET.

2.2 High Mobility Ad hoc On-Demand Multipath Distance Vector (HM-AOMDV)

HM-AOMDV merupakan sebuah *routing protocol* yang dikembangkan oleh Lee et al. [1] sebagai pengembangan dari protokol AOMDV dengan menggunakan jumlah *hop* dan kecepatan relatif antar kendaraan untuk menentukan jalur yang digunakan untuk mengirim paket data. AOMDV sendiri merupakan pengembangan dari protokol AODV dengan menggunakan lebih dari satu jalur yang bersifat *loop free* dan *link disjoint* untuk menghubungkan pengirim dan penerima. Berikut ini penulis akan menjelaskan implementasi dari masing - masing protokol terkait.

2.2.1 AODV

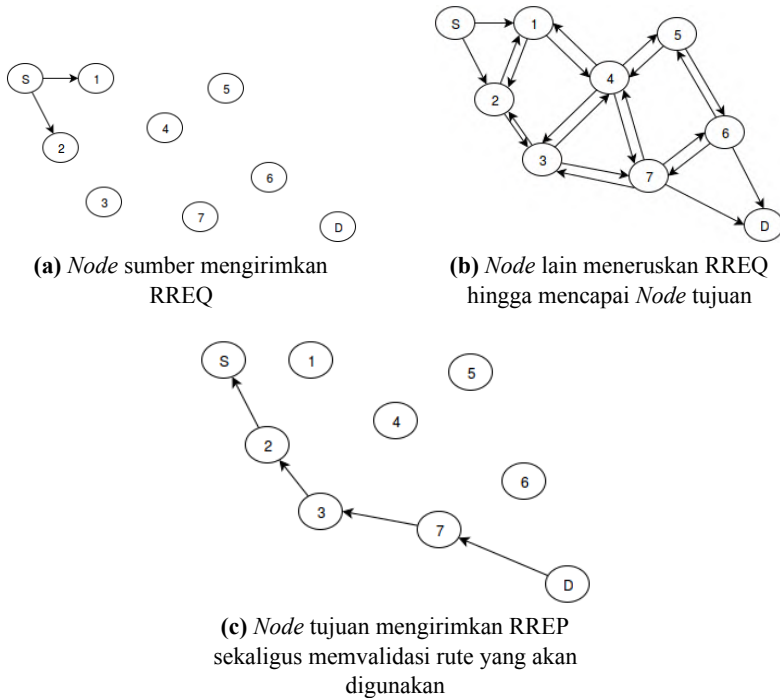
Ad ho On-Demand Distance Vector merupakan sebuah *routing protocol* yang bersifat reaktif, hal ini berarti protokol ini hanya mengirimkan *request* untuk sebuah rute hanya saat *node* ingin melakukan komunikasi. Spesifikasi AODV ditulis oleh Perkins et al. [8] pada RFC 3561. AODV memiliki dua buah fungsi, yaitu *route discovery* dan *route maintenance*. *Route discovery* dilakukan menggu-

nakan menggunakan paket *Route Request* (RREQ) dan *Route Reply* (RREP). Sedangkan fungsi *Route Maintenance* dibantu dengan dengan paket *Route Error* (RERR).

Pada AODV setiap *node* harus memiliki sebuah *routing table* yang memiliki field berikut:

- *Destination Address*: berisi alamat dari *node* tujuan.
- *Destination Sequence Number*: *sequence number* dari jalur komunikasi.
- *Next Hop*: *node* yang akan digunakan untuk meneruskan paket data.
- *Hop Count*: jumlah lompatan yang harus dilakukan paket untuk mencapai *node* tujuan.
- *Lifetime*: Waktu dalam milidetik yang diperlukan *node* untuk menerima RREP.
- *Routing Flags*: status jalur. *Up* (valid), *down* (tidak valid) atau sedang diperbaiki.

Gambar 2.3 menunjukkan langkah - langkah yang dilakukan pada proses *route discovery* dalam AODV. Saat *node* akan menginisiasi sebuah komunikasi maka *node* pengirim akan melakukan *route discovery* dengan melakukan *broadcast* RREQ seperti ditunjukkan pada gambar 2.3a. Saat *node* menerima paket RREQ maka *node* itu akan memeriksa *routing table* miliknya. Jika *destination sequence number* yang terdapat pada paket RREQ sama atau lebih kecil dari data yang terdapat pada *routing table* dan jalur menuju *node* tujuan belum ditemukan, maka paket tersebut tidak akan dilanjutkan tetapi kalau ternyata jalur menuju *node* tujuan tercatat pada *routing table* dan memiliki *routing flags* "up" maka *node* akan mengirimkan paket RREP ke *node* pengirim. Jika *destination sequence number* pada RREQ lebih besar dibandingkan yang terdapat pada *routing table* maka *entry* pada *routing table* akan diperbarui dan paket tersebut akan diteruskan sekaligus membuat *reverse path* menuju *node* pengirim. Proses *route discovery* dilanjutkan pada gambar 2.3b dimana *node* yang menerima paket RREQ juga akan mem-*broadcast*



Gambar 2.3: Proses *Route Discovery* pada AODV

paket itu ke *node* sekitarnya. Tahap terakhir dari *route discovery* seperti ditunjukkan pada gambar 2.3c adalah saat *node* tujuan menerima paket RREQ dan mengirimkan paket RREP menuju *node* pengirim melalui *reverse path* yang telah dibangun pada proses pengiriman RREQ.

Fungsi *route maintenance* berguna untuk memastikan semua jalur yang tercatat pada *routing table* memiliki status yang tepat. Contohnya adalah saat proses pengiriman data berlangsung. Jika terdapat koneksi antar *node* yang terputus maka *node* yang mendeteksi kejadian tersebut akan mengirimkan paket RERR kepada semua

node yang berkomunikasi menggunakan jalur terkait. Kemudian semua *node* yang menerima paket RERR akan menandai jalur tersebut menjadi *down* dan meneruskan paket tersebut hingga sampai pada *node* pengirim. Jika *node* pengirim masih memerlukan komunikasi data dengan *node* penerima, maka proses *route discovery* antara *node* pengirim dan tujuan akan dilakukan kembali.

2.2.2 AOMDV

Ad hoc On-Demand Multipath Distance Vector merupakan ekstensi dari protokol AODV. Pada AOMDV *node* menyimpan lebih dari satu jalur menuju *node* tujuan. Hal ini dimungkinkan dengan merubah proses *route discovery* pada protokol AODV. Berikut ini adalah perubahan yang terdapat pada protokol AOMDV jika dibandingkan dengan protokol AODV:

- Pada AODV jika *destination sequence number* yang diterima dari paket RREQ bernilai sama dengan yang berada pada *routing table* maka paket tersebut akan di-*drop*. Sedangkan pada AOMDV *node* akan memeriksa jumlah *hop* yang tercatat pada paket RREQ tersebut, jika jumlah *hop* lebih sedikit dari yang tercatat pada *routing table* maka *node* tersebut akan menambahkan *reverse route* berdasarkan paket RREQ tersebut.
- Pada AOMDV *node* akan meneruskan paket RREP ke semua jalur yang tercatat pada *routing table* dengan *destination sequence number* yang sama.
- Sebuah *node* bisa mendapatkan lebih dari satu paket RREP dengan *destination sequence number* yang sama tetapi dari *node* yang berbeda. Saat hal tersebut terjadi maka *node* tersebut akan membandingkan jumlah *hop* yang tercatat pada paket tersebut dengan paket RREP pertama yang mencapai *node* tersebut. Jika jumlah *hop* yang terbaru lebih kecil maka jalur alternatif melalui *node* pengirim paket RREP akan ditambahkan kedalam *routing table*.

Dengan adanya lebih dari satu jalur menuju satu *node* maka proses pencarian jalur baru saat jalur yang sedang digunakan terputus-bisa dilakukan dengan lebih cepat. Proses *route discovery* di tengah-tengah komunikasi hanya dilakukan saat semua jalur yang tercatat pada *route table* menuju *node* tujuan berstatus *down*.

2.2.3 HM-AOMDV

High Mobility Ad hoc On-Demand Multipath Distance Vector merupakan ekstensi dari protokol AOMDV yang menggunakan jalur yang tersimpan pada *routing table* untuk mengoptimasi kinerja protokol tersebut. HM-AOMDV menggunakan sebuah variabel yang disebut *mobility factor* untuk memilih jalur utama yang akan digunakan untuk pengiriman data. *Mobility factor* adalah nilai yang didapat setelah menghitung kecepatan relatif sebuah *node* dengan *node* tetangganya. Untuk memungkinkan perhitungan *mobility factor* maka diperlukan perubahan pada struktur paket data yang digunakan untuk *route discovery* dan *route maintenance*. Paket yang diubah dari AOMDV adalah paket RREP dan HELLO, struktur paket tersebut pada HM-AOMDV dapat dilihat pada tabel 2.1.

<i>Type</i>	<i>Source IP Address</i>	<i>Speed(km/s)</i>
-------------	--------------------------	--------------------

(a) Struktur HELLO message

<i>Type</i>	<i>Reversed</i>	<i>Last hop</i>	<i>Hop count</i>
RREQ ID		<i>Destination IP Address</i>	
<i>Destination Sequence Number</i>		<i>Originator IP Address</i>	
<i>Originator Sequence Number</i>		<i>Mobility Factor</i>	

(b) Struktur RREP

Tabel 2.1: Struktur paket HELLO dan RREP pada HM-AOMDV[1]

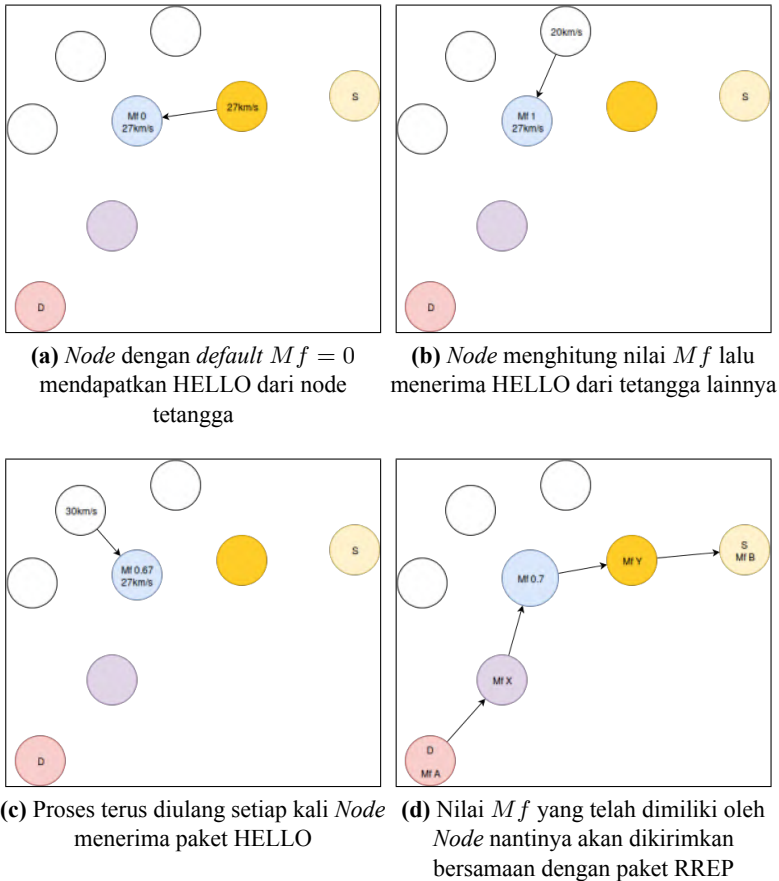
Rumus untuk menghitung *mobility factor* adalah:

$$Mf = \frac{(1 + r)^{-w} + (Mf \times (N - 1))}{N} \quad (2.1)$$

Gambar 2.4 akan menunjukkan ilustrasi dari penghitungan Mf . Selain itu, berikut adalah penjelasan mengenai variabel yang digunakan dalam menghitung *mobility factor*:

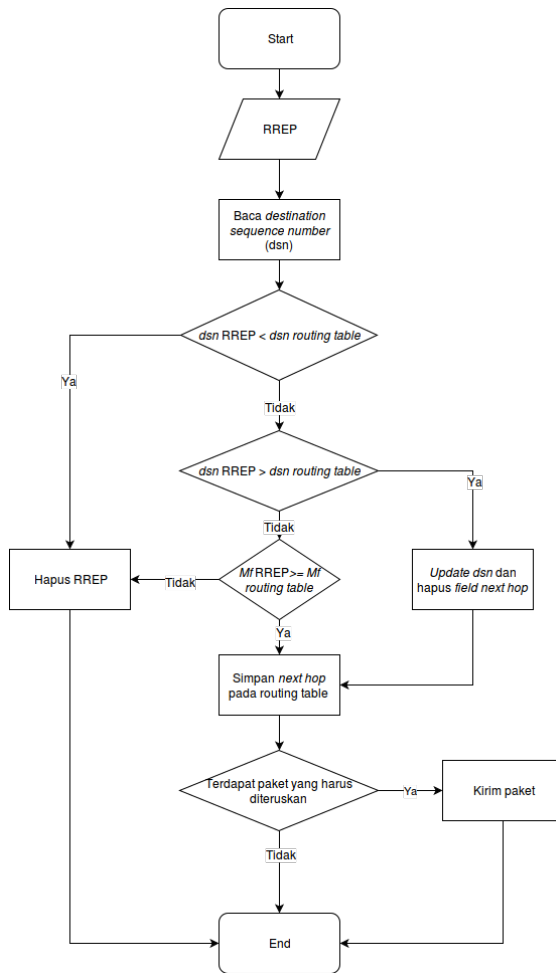
- Mf : *mobility factor* kendaraan yang diskalakan berdasarkan kecepatan dari kendaraan tetangga. Variabel ini memiliki nilai dari 0 hingga 1 dan memiliki nilai maksimum ketika kecepatan relatifnya dengan kendaraan lain adalah nol. Setiap kendaraan menyimpan Mf dari kendaraan tetangganya. Kendaraan dengan Mf tertinggi akan dipilih menjadi *next hop* pada komunikasi yang sedang berjalan. Nilai Mf akan diubah menjadi nol setiap *hello interval*.
- r : nilai relatif antara kecepatan kendaraan saat ini dengan kecepatan yang tercantum pada HELLO.
- N : Jumlah HELLO yang diterima dalam satu *hello interval*. Nilainya akan diubah menjadi nol setiap *hello interval*.
- w : konstanta untuk perhitungan Mf .

Gambar 2.5 menunjukkan *flowchart* saat protokol HM-AOMDV menerima paket RREP. Setelah menerima paket HELLO, *node* akan menghitung nilai Mf dan mengirimnya melalui paket RREP. *Node* yang menerima paket tersebut pertama - tama akan membaca *IP address* yang tercantum dan mencari jalur yang melalui *node* tersebut. Kemudian *node* tersebut membandingkan *destination sequence number* yang tercantum pada RREP dan *routing table*. Jika *destination sequence number* pada RREP lebih kecil dari yang terdapat pada *routing table* maka paket tersebut akan dihapus. Sebaliknya jika *destination sequence number* pada RREP lebih besar artinya paket tersebut berisikan informasi yang lebih baru dari *routing table*, sehingga *node* tersebut menghapus data mengenai jalur tersebut dan menggantinya berdasarkan data yang terdapat pada RREP. Tetapi



Gambar 2.4: Ilustrasi penghitungan nilai Mf

jika kedua *destination sequence number* bernilai sama node tersebut akan membandingkan nilai Mf pada paket RREP dan *routing table*. Jika nilai Mf pada RREP lebih besar atau sama dengan nilai Mf pada *routing table* maka node akan menambahkan jalur alternatif berdasarkan RREP, sebaliknya jika nilai Mf pada RREP lebih



Gambar 2.5: Flowchart penanganan paket RREP pada HM-AODV[1]

kecil maka paket tersebut akan dihapus. Dengan cara ini protokol HM-AODV dapat memilih jalur yang paling sehat untuk komuni-

kasi data.

2.3 *Simulation of Urban Mobility (SUMO)*

Simulation of Urban Mobility atau SUMO merupakan sebuah program *simulator* lalu lintas. SUMO dikembangkan sejak tahun 2000 dengan tujuan untuk mengakomodasi penelitian - penelitian yang melibatkan pergerakan kendaraan di jalan raya, terutama dalam daerah dengan penduduk yang padat (*urban*). Publikasi referensi terbaru tentang SUMO ditulis oleh Krajzewicz et al. [11] pada tahun 2012.

SUMO terdiri dari beberapa *tools* yang dapat membantu pembuatan simulasi lalu lintas pada tahap - tahap berbeda. Berikut penjelasan fungsi tools yang digunakan dalam pembuatan Tugas Akhir ini:

- netconvert
netconvert merupakan program CLI yang berfungsi untuk melakukan konversi dari peta seperti OpenStreetMap atau VISUM menjadi format *native* SUMO. Pada Tugas Akhir ini penulis menggunakan netconvert untuk mengkonversi peta dari OpenStreetMap.
- randomTrips.py
Tool dalam SUMO untuk membuat rute acak yang akan dilalui oleh kendaraan dalam simulasi.
- route2trips.py
Membuat detail perjalanan setiap kendaraan berdasarkan output dari randomTrips.py.
- sumo
Program yang melakukan simulasi lalu lintas berdasarkan data - data yang didapatkan dari netconvert dan route2trips.py. Hasil simulasi dapat di *export* ke sebuah file untuk nantinya dikonversi menjadi format lain.
- sumo-gui

GUI untuk melihat simulasi yang dilakukan oleh SUMO secara grafis.

- `traceExporter.py`

Tool yang bertujuan untuk mengkonversi output dari sumo menjadi format yang dapat digunakan pada *simulator* lain. Pada Tugas Akhir ini penulis menggunakan `traceExporter.py` untuk mengkonversi data menjadi format `.tcl` yang dapat digunakan pada NS-2.

2.4 OpenStreetMap

OpenStreetMap (OSM) [10] merupakan sebuah proyek kolaboratif untuk membuat sebuah peta dunia yang dapat dengan bebas diubah oleh siapapun. Dua buah faktor pendukung dalam pembuatan dan perkembangan OSM adalah kurangnya ketersediaan dari informasi peta mengenai sebagian besar daerah di dunia dan munculnya alat navigasi portabel yang terjangkau.[12] OSM dianggap sebagai contoh utama dalam informasi geografis yang diberikan secara sukarela.

Pengembangan OSM diinspirasi oleh kesuksesan Wikipedia pengaruh dari peta *proprietary* di UK dan tempat lain. Sejak diluncurkannya hingga sekarang OSM telah berkembang hingga memiliki lebih dari dua juta pengguna yang teregistrasi yang dapat mengambil data menggunakan survey manual, piranti GPS, *aerial photography* dan sumber bebas lainnya. Data yang terdapat pada OSM berada dalam lisensi *Open Database License* sehingga data dari OSM dapat dengan bebas digunakan oleh semua orang.

Pada Tugas Akhir ini penulis menggunakan data yang tersedia pada OSM untuk membuat skenario lalu lintas berdasarkan peta Surabaya.

2.5 JOSM

JOSM (*Java OpenStreetMap Editor*) adalah sebuah alat untuk menyunting data yang didapatkan dari OpenStreetMap. Aplikasi JOSM dapat diunduh pada alamat <https://josm.openstreetmap.de/>. Penulis menggunakan aplikasi ini untuk menyunting dan merapikan potongan peta yang diunduh dari OpenStreetMap.

2.6 AWK

AWK merupakan sebuah *Domain Specific Language* (DSL) yang didesain untuk *text processing* dan biasanya digunakan sebagai alat ekstraksi data dan *reporting*. AWK bersifat *data-driven* yang berisikan kumpulan perintah yang akan dijalankan pada data tekstual baik secara langsung pada file atau digunakan sebagai bagian dari *pipeline*. Pada Tugas Akhir ini penulis menggunakan AWK untuk memproses data yang dihasilkan dari simulasi pada NS-2 dan mendapatkan analisis mengenai *packet delivery rate*, *end-to-end delay* dan lain - lain.

2.7 Network Simulator 2 (NS-2)

NS-2 merupakan sebuah *discrete event simulator* yang didesain untuk membantu penelitian pada bidang jaringan komputer. Pengembangan NS dimulai pada tahun 1989 sebagai sebuah varian dari REAL *network simulator*, pada tahun 1995 pengembangan NS didukung oleh DARPA melalui VINT project di LBL, Xerox PARC, UCB dan USC/ISI. NS kemudian memasuki versi dua pada tanggal 31 Juli 1995. Saat ini pengembangan NS didukung oleh DARPA melalui SAMAN dan NSF melalui CONSER beserta peneliti lainnya termasuk ACIRI.

Saat ini terdapat dua buah *major version* dari NS yang masih dikembangkan yaitu NS-2 dan NS-3. NS-3 dikembangkan sejak tanggal 1 Juli 2006 dan sedang dikembangkan secara aktif sedangkan

pengembangan NS-2 tidak begitu aktif karena fokus pengembang sebagian besar beralih ke NS-3. Pada Tugas Akhir ini penulis memilih NS-2 karena protokol AOMDV yang menjadi dasar dari pengembangan protokol HM-AOMDV masih hanya tersedia pada NS-2.

Versi terbaru NS-2 adalah ns-2.35 yang dirilis pada tanggal 4 November 2011. Dalam membuat sebuah simulasi jaringan komputer NS-2 menggunakan dua buah bahasa pemrograman, yaitu C++ dan OTcl. Bahasa C++ digunakan untuk mengimplementasi bagian-bagian jaringan yang akan disimulasikan. Sedangkan OTcl digunakan untuk menulis skenario simulasi jaringan. NS-2 mendukung sistem operasi GNU/Linux, FreeBSD, OS X dan Solaris. NS-2 juga dapat dijalankan pada sistem operasi Windows dengan menggunakan Cygwin.

2.7.1 Instalasi NS-2

Sebelum melakukan instalasi NS-2 hal pertama yang harus dilakukan adalah menginstall dependensi yang dibutuhkan. Salah satu dependensi dari NS-2 adalah GCC versi 4.3, tetapi jika pada distribusi yang digunakan tidak tersedia GCC versi 4.3 versi 4.4 dapat digunakan. Gambar 2.6 menunjukkan dependensi NS-2 beserta GCC 4.4 dan cara menginstallnya pada distribusi Debian dan turunannya.

```
sudo apt-get install build-essential autoconf
↳ automake libxmu-dev gcc-4.4
```

Gambar 2.6: Perintah untuk menginstall dependensi NS-2 pada distribusi Debian

Setelah semua dependensi terinstall hal selanjutnya yang dapat dilakukan adalah mengunduh *source code* NS-2. Saat proses pengunduhan telah selesai, lakukan ekstraksi *file* tarball seperti yang

ditunjukkan pada gambar 2.7.

```
1 wget
  ↪ http://jaist.dl.sourceforge.net/project/nsnam/allinone/
  ↪ allinone-2.35/ns-allinone-2.35.tar.gz
  ↪ \
2 tar -xvf ns-allinone-2.35.tar.gz
```

Gambar 2.7: Perintah untuk mengunduh dan mengekstrak NS-2

Navigasi menuju folder "linkstate" yang terdapat pada *ns-allinone-2.35/ns-2.35/linkstate*. Kemudian buka file yang bernama "ls.h" dan pergi ke baris 137 pada kode tersebut. Setelah itu ubah kata "**error**" menjadi "**this->error**". *Screenshot* dari perubahan yang dilakukan pada file tersebut dapat dilihat pada gambar 2.8a.

Langkah terakhir yang harus dilakukan adalah memberitahu NS versi GCC yang akan digunakan. Untuk itu variabel CC pada *ns-allinone-2.35/otcl-1.14/Makefile.in* harus diubah dari `@CC@` menjadi `gcc-4.4`. Gambar 2.8b menunjukkan perubahan yang dilakukan.

```

nvim ls.h
nvim buku_ta.tex chapte... x revant@Eru: ~/Documen... x nvim ls.h x
ls.h buffers
129 typedef typename map<Key, T, less<Key> >::iterator iterator;
130 typedef pair<iterator, bool> pair_iterator_bool;
131 iterator insert(const Key & key, const T & item) {
132     typename baseMap::value_type v(key, item);
133     pair_iterator_bool ib = baseMap::insert(v);
134     return ib.second ? ib.first : baseMap::end();
135 }
136
137 void eraseAll() { this->erase(baseMap::begin(), baseMap::end());
138 }
139 T* findPtr(Key key) {
140     iterator it = baseMap::find(key);
141     return (it == baseMap::end()) ? (T *)NULL : &((*it).second);
142 };
143
144 /*
145  LsNodeIdList -- A list of int 's. It manages its own memory
146  */
V-LINE ls.h eraseAll() < cpp 20% | 137/655 | 5
-- VISUAL LINE --

```

(a) Perubahan yang dilakukan pada ls.h

```

nvim Makefile.in
nvim buku_ta.tex chapters/... x revant@Eru: ~/Documents/... x nvim Makefile.in x
Makefile.in buffers
1
2 #
3 # try ./configure first to fill in all the definitions corresponding
4 # to your system, but you always can edit the sections below manually.
5 #
6
7 C= gcc-4.4
8 CFLAGS= @CFLAGS@
9 RANLIB= @RANLIB@
10 INSTALL= @INSTALL@
11
12 #
13 # how to compile, link, and name shared libraries
14 #
15
16 SHLIB_LD= @SHLIB_LD@
17 SHLIB_CFLAGS= @SHLIB_CFLAGS@
18 SHLIB_SUFFIX= @SHLIB_SUFFIX@
19 SHLD_FLAGS= @DL_LD_FLAGS@
V-LINE Makefile.in CC < make 4% | 7/171 | 1
-- VISUAL LINE --

```

(b) Perubahan pada Makefile OtC

Gambar 2.8: Setting pada Instalasi NS-2

```

revant@Eru: ~/Documents/TA/Project/Library/ns-allinone-2.35
-----
Please put /home/revant/Documents/TA/Project/Library/ns-allinone-2.35/bin/
/home/revant/Documents/TA/Project/Library/ns-allinone-2.35/tcl8.5.10/unix:/ho
me/revant/Documents/TA/Project/Library/ns-allinone-2.35/tk8.5.10/unix
into your PATH environment; so that you'll be able to run itm/tclsh/wish
.

IMPORTANT NOTICES:

(1) You MUST put /home/revant/Documents/TA/Project/Library/ns-allinone-2
1-1.14, /home/revant/Documents/TA/Project/Library/ns-allinone-2.35/lib,
into your LD_LIBRARY_PATH environment variable.
    If it complains about X libraries, add path to your X libraries
into LD_LIBRARY_PATH.
    If you are using csh, you can set it like:
        setenv LD_LIBRARY_PATH <paths>
    If you are using sh, you can set it like:
        export LD_LIBRARY_PATH=<paths>

(2) You MUST put /home/revant/Documents/TA/Project/Library/ns-allinone-2
8.5.10/library into your TCL_LIBRARY environmental
variable. Otherwise ns/nam will complain during startup.

After these steps, you can now run the ns validation suite with
cd ns-2.35; ./validate

For trouble shooting, please first read ns problems page
http://www.isi.edu/nsnam/ns/ns-problems.html. Also search the ns mailing
rchive
for related posts.

18:34:28 ▶ revant@Eru:~/Documents/TA/Project/Library/ns-allinone-2.35
$

```

Gambar 2.9: Hasil instalasi NS-2

Setelah semua tahap di atas selesai hal terakhir yang perlu dilakukan adalah menjalankan skrip instalasi NS-2. Untuk menjalankannya masukkan perintah `ns-allinone-2.35/./install` pada terminal dan tunggu hingga proses instalasi selesai. Gambar 2.9 menunjukkan *screenshot* dari hasil instalasi NS-2.

2.7.2 Penggunaan Skrip OTcl

OTcl merupakan ekstensi *object oriented* dari bahasa pemrograman Tcl. Bahasa ini dikembangkan oleh Wetherall [13] di MIT

sebagai bagian dari proyek VUssystem. Bahasa OTcl digunakan sebagai bahasa *scripting* pada NS-2 untuk mengatur lingkungan dan skenario simulasi.

Setiap *class* yang terdapat pada OTcl memiliki *binding* pada kode C++. Hal ini memungkinkan pembuatan skenario simulasi secara cepat dan tanpa perlu menggunakan bahasa C++ secara langsung. Gambar 2.10 menunjukkan contoh potongan kode OTcl pada NS-2 untuk melakukan *setting* lingkungan simulasi.

Pada baris pertama hingga kesembilan penulis menyimpan nilai *setting* lingkungan simulasi pada beberapa variabel. Kemudian pada baris kesebelas penulis menginstansiasi objek *simulator* yang merupakan objek yang akan menjalankan simulasi VANET. Setelah itu pada baris ketiga belas penulis menginstansiasi koneksi *wireless* yang akan digunakan oleh setiap *node*. Terakhir pada baris keempat belas hingga kedua puluh tujuh penulis memasukkan semua variabel pengaturan pada pengaturan *node*. Pengaturan ini akan membuat semua *node* yang diinstansiasi pada proses simulasi akan memiliki atribut sesuai dengan yang diinginkan oleh penulis.

2.7.3 NS-2 Trace File

Trace File merupakan *file* hasil dari simulasi sebuah skenario pada NS-2. Isi dari sebuah *trace file* adalah catatan mengenai paket yang dikirim dan diterima oleh setiap *node* dalam simulasi. Setiap jenis paket yang beredar pada jaringan memiliki pola - pola tersendiri sehingga dapat dibedakan satu sama lain dan membantu memudahkan analisis terhadap hasil simulasi. Pada tugas akhir ini penulis menggunakan peredaran paket komunikasi, HELLO, RREQ, RREP dan RRER dalam menganalisis hasil simulasi.

Pada gambar 2.11 ditunjukkan contoh *trace* yang didapat pada setiap jenis paket yang beredar di lingkungan simulasi. Gambar a hingga d menunjukkan contoh paket *routing controll* dari NS-2, sedangkan gambar e menunjukkan paket data komunikasi dari agen CBR (*Constant Bit Rate*). Paket *routing controll* dan paket komuni-

```

1  set val(chan) Channel/WirelessChannel;# channel type
2  set val(prop) Propagation/TwoRayGround;# radio-propagation
   ↪ model
3  set val(netif) Phy/WirelessPhy;# network interface type
4  set val(mac) Mac/802_11;# MAC type
5  set val(ifq) Queue/DropTail/PriQueue;# interface queue
   ↪ type
6  set val(ll) LL;# link layer type
7  set val(ant) Antenna/OmniAntenna;# antenna model
8  set val(ifqlen) 50;# max packet in ifq
9  set val(rp) AOMDV;# routing protocol
10
11 set ns_ [new Simulator]
12
13 set chan_1_ [new $val(chan)]
14 $ns_ node-config -adhocRouting $val(rp)
15   -llType $val(ll)
16   -macType $val(mac)
17   -ifqType $val(ifq)
18   -ifqLen $val(ifqlen)
19   -antType $val(ant)
20   -propType $val(prop)
21   -phyType $val(netif)
22   -topoInstance $topo
23   -agentTrace ON
24   -routerTrace ON
25   -macTrace OFF
26   -movementTrace OFF
27   -channel $chan_1_

```

Gambar 2.10: Potongan kode pengaturan lingkungan simulasi VANET

```
r 120.001200134 _55_ RTR --- 0 AOMDV 52 [0 ffffffff 119
↳ 800] ----- [281:255 -1:255 30 0] [0x2 0 1 [282 0] [281
↳ 4]] (REQUEST)
```

(a) Contoh paket RREQ

```
s 120.038438424 _282_ RTR --- 0 AOMDV 52 [0 0 0 0] -----
↳ [282:255 281:255 30 153] [0x4 0 [282 2] 10.000000]
↳ (REPLY) [1 153]
```

(b) Contoh paket RREP

```
r 120.044360677 _217_ RTR --- 0 AOMDV 44 [0 ffffffff 2f
↳ 800] ----- [47:255 -1:255 1 0] [0x1 0 [47 2]
↳ 4.000000] (HELLO) [0 0]
```

(c) Contoh paket HELLO

```
s 134.000000000 _155_ RTR --- 0 AOMDV 32 [0 0 0 0] -----
↳ [155:255 -1:255 1 0] [0x8 1 [282 0] 0.000000] (ERROR)
↳ [0 0]
```

(d) Contoh paket RRER

```
r 134.473722701 _282_ AGT --- 73 cbr 532 [13a 11a d3 800]
↳ ----- [281:0 282:0 23 282] [73] 8 0
```

(e) Contoh paket komunikasi data

Gambar 2.11: Contoh sampel tipe paket pada *trace file* NS-2

kasi data dapat dibedakan dengan melihat kata keempat pada baris deskripsi paket, pada paket *routing controll* kata yang tertulis pada kata keempat adalah RTR sedangkan pada paket komunikasi data yang tertulis adalah AGT. Perbedaan lain yang dapat dilihat pada contoh yang diberikan adalah status pengiriman dan penerimaan sebuah paket. Jika karakter pertama pada sebuah baris adalah r maka trace baris tersebut mendeskripsikan paket saat sedang diterima oleh sebuah *node*. Sebaliknya jika karakter pertama adalah s maka baris tersebut mendeskripsikan informasi saat paket sedang dikirim oleh sebuah *node*. Dengan mengetahui tipe paket dan pola yang terdapat pada *trace file* penulis dapat melakukan analisis hasil simulasi dari NS-2.

Halaman ini sengaja dikosongkan

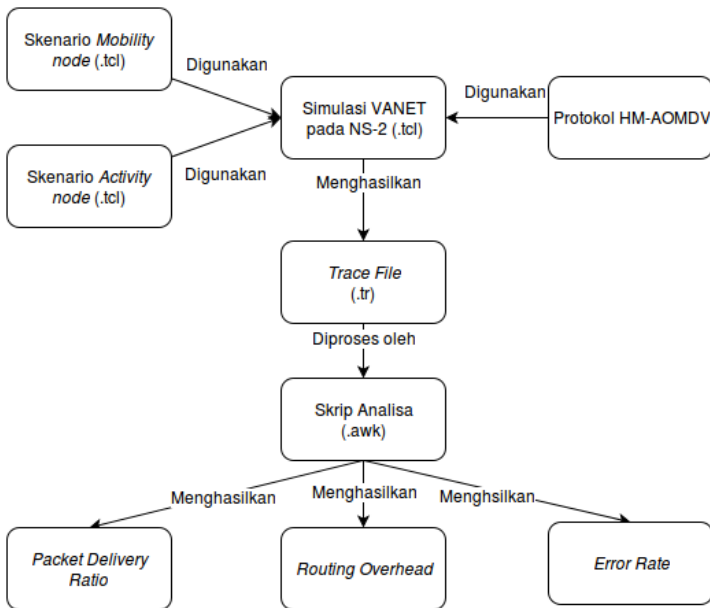
BAB 3

PERANCANGAN

Perancangan merupakan bagian yang sangat penting dari implementasi sistem. Bab ini secara khusus akan menjelaskan rancangan sistem yang dibuat pada Tugas Akhir. Bagian yang akan dijelaskan pada bab ini derawal dari deskripsi umum hingga perancangan skenario, alur dan implementasinya.

3.1 Deskripsi Umum

Pada Tugas Akhir ini penulis akan mengimplementasi protokol HM-AOMDV pada NS-2. Diagram dari rancangan simulasi dapat dilihat pada gambar 3.1.



Gambar 3.1: Diagram rancangan simulasi

Dalam Tugas Akhir ini peta skenario yang digunakan didasarkan pada peta riil lingkungan lalu lintas kota Surabaya. Peta tersebut diambil dari data yang terdapat pada OpenStreetMap, peta tersebut kemudian dirapikan menggunakan aplikasi JOSM. Setelah peta selesai dirapikan peta tersebut digunakan untuk melakukan simulasi lalu lintas menggunakan SUMO. Hasil simulasi tersebut kemudian digunakan bersama dengan protokol HM-AOMDV pada NS-2 untuk melakukan simulasi VANET. Hasil simulasi VANET tersebut kemudian dianalisis menggunakan skrip AWK untuk mendapatkan *packet delivery rate*, *routing overhead* dan *error rate* dari simulasi tersebut. Analisis tersebut dapat mengukur performa protokol HM-AOMDV dibandingkan dengan protokol AOMDV.

3.2 Perancangan Skenario Mobilitas

Perancangan skenario mobilitas dimulai dengan pemilihan daerah yang akan digunakan sebagai model untuk simulasi. Setelah mendapatkan daerah yang sesuai maka bagian peta tersebut diunduh dari OpenStreetMap dengan menggunakan fitur *export*. Kemudian peta tersebut dirapikan menggunakan program JOSM. Beberapa hal yang harus dirapikan dari peta tersebut adalah pengaturan interval lampu lalu lintas dan menghapus jalan yang terputus sehingga peta tersebut menjadi daerah tertutup tanpa daerah yang terisolasi.

Sebelum melakukan konversi terhadap peta yang telah diproses dengan JOSM pertama-tama perlu dibuat sebuah *type file* yang mendeskripsikan batasan-batasan pada simulasi lalu lintas. Beberapa batasan yang dapat dideklarasikan adalah batas kecepatan pada sebuah tipe jalan dan batas kecepatan dari suatu tipe kendaraan. Setelah itu peta dikonversi berdasarkan *type file* yang telah dibuat menggunakan *tools netconvert* menjadi sebuah *file* berekstensi *.net.xml*. Hasil konversi tersebut digunakan untuk membuat *file* deskripsi pergerakan kendaraan menggunakan *tool randomTrips.py* dan *route2trips.py*.

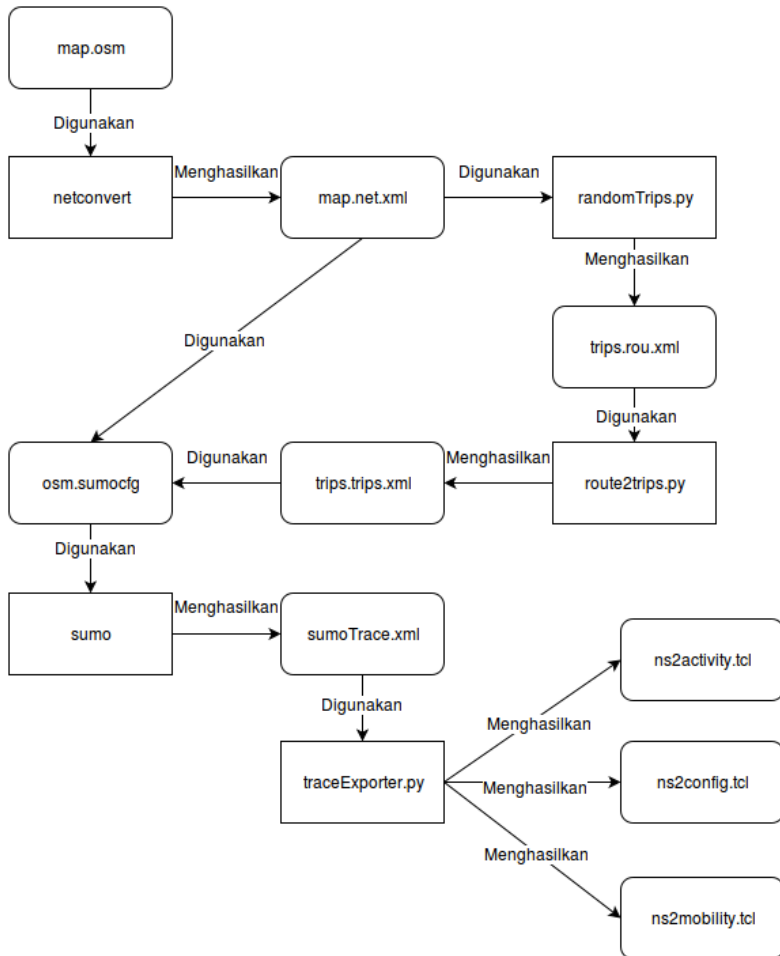
Simulasi lalu lintas kemudian dilakukan dengan menggunakan *file* peta yang telah dikonversi dan *file* pergerakan yang dihasilkan sebelumnya. Hasil dari simulasi dari SUMO adalah sebuah *file* dengan ekstensi .xml. Lalu hasil simulasi tersebut dikonversi menjadi *file mobility, activity* dan *configuration* yang dapat kompatibel dengan NS-2 menggunakan `traceExporter.py`. Ilustrasi alur pembuatan skenario mobilitas dapat dilihat pada gambar 3.2.

3.3 Perancangan Simulasi pada NS-2

Simulasi VANET pada NS-2 dilakukan dengan menggunakan skenario mobilitas dan digabungkan dengan skrip TCL yang berisikan konfigurasi mengenai lingkungan simulasi. Konfigurasi lingkungan simulasi VANET pada NS-2 dapat dilihat pada tabel 3.1.

Tabel 3.1: Parameter lingkungan simulasi

No.	Parameter	Spesifikasi
1	<i>Network simulator</i>	NS-2, 2.35
2	<i>Routing protocol</i>	HM-AOMDV dan AOMDV
3	Radius transmisi	250 m
4	Kecepatan kendaraan	11 m/s, 13 m/s, 15 m/s, 17 m/s dan 19 m/s
5	Deviasi kecepatan	10% dan 15%
6	Agen pengirim	<i>Constant Bit Rate (CBR)</i>
7	<i>Source / Destination</i>	Statis
8	<i>Packet Rate</i>	20 kb/s
9	Ukuran paket	512 bit
10	Protokol MAC	IEEE 802.11
11	Propagasi sinyal	<i>Two-ray ground</i>
12	Tipe kanal	<i>Wireless channel</i>



Gambar 3.2: Alur pembuatan skenario mobilitas

3.4 Perancangan Metrik Analisis

Berikut ini merupakan beberapa parameter yang dianalisis dalam Tugas Akhir ini:

3.4.1 *Packet Delivery Ratio (PDR)*

Packet delivery ratio merupakan perbandingan dari jumlah paket komunikasi yang dikirimkan dengan paket komunikasi yang diterima. *Packet delivery ratio* dihitung menggunakan persamaan 3.1, dimana *received* adalah jumlah paket komunikasi yang diterima dan *sent* adalah jumlah paket komunikasi yang dikirimkan.

$$PDR = \frac{Data_{received}}{Data_{sent}} \quad (3.1)$$

3.4.2 *Normalized Routing Overhead (RO)*

Routing overhead merupakan jumlah paket kontrol yang ditransmisikan per paket komunikasi yang terkirim ke tujuan selama simulasi terjadi. Paket kontrol yang dihitung adalah perbandingan antara jumlah *Route Request* (RREQ), *Route Reply* (RREP) dan *Route Error* (RRER) yang dikirim dengan jumlah paket komunikasi yang diterima. Rumus dari RO dapat dilihat pada persamaan 3.2.

$$RO = \frac{RREQ_{sent} + RREP_{sent} + RRER_{sent}}{Data_{received}} \quad (3.2)$$

3.4.3 *Error Rate (ER)*

Pada *routing overhead* paket kontrol yang dihitung adalah RREQ, RREP dan RRER tetapi pada *error rate* paket yang dihitung hanyalah RRER.

3.4.4 *Rata-rata End-to-End Delay(E2E)*

Rata-rata *End-to-End delay* mengindikasikan interupsi transmisi paket dari *node* asal ke tujuan. Total interupsi didapatkan dari akumulasi *delay-delay* kecil yang ada dalam jaringan. Total interupsi terdiri dari *delay* yang mungkin karena *buffer* pada *route discovery latency*, *delay* pada antrian *interface*, retransmisi *Media Access*

Control(MAC) delay dan waktu transfer serta *propagation delays*. Rata-rata *E2E delay* pada paket yang diterima bisa dihitung berdasarkan selisih waktu antara transmisi dan respon paket pada *Constant Bit Rate* (CBR) dan membaginya dengan jumlah total transmisi CBR menggunakan persamaan 3.3. Semakin kecil *End-to-End delay* mengindikasikan performa yang lebih baik.

$$E2E = \frac{\sum_{i=1}^{recvnum} CBRRecvTime_i - CBRSentTime_i}{recvnum} \quad (3.3)$$

BAB 4

IMPLEMENTASI

Bab ini memberikan bahasan mengenai implementasi dari perancangan sistem yang dijelaskan pada bab sebelumnya.

4.1 Lingkungan Pembangunan Perangkat Lunak

Pembangunan perangkat lunak dilakukan pada lingkungan pengembangan sebagai berikut:

4.1.1 Lingkungan Perangkat Lunak

Adapun lingkungan perangkat lunak yang digunakan dalam pengembangan sistem adalah sebagai berikut:

- Sistem operasi berupa Linux Ubuntu 14.04 64-bit.
- SUMO versi 0.24.0 untuk mendesain skenario mobilitas VANET.
- JOSM versi 1.5 (8800 en) sebagai editor peta dari OpenStreetMap.
- ns2.35 sebagai untuk melakukan simulasi skenario VANET.

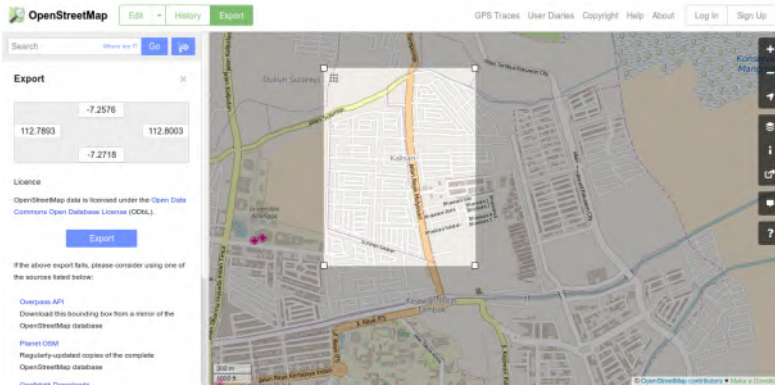
4.1.2 Lingkungan Perangkat Keras

Spesifikasi perangkat keras yang digunakan pada lingkungan implementasi Tugas Akhir adalah sebagai berikut:

- *Processor* Intel® Core™ i5-2410M CPU @ 2.30GHz × 4.
- 4 GB DDR3 RAM.
- Media penyimpanan sebesar 750 GB.

4.2 Implementasi Skenario Mobilitas

Dalam mengimplementasikan skenario mobilitas hal pertama yang harus dilakukan adalah mengeksport data dari OpenStreetMap seperti yang ditunjukkan oleh gambar 4.1.



Gambar 4.1: Proses ekspor peta dari OpenStreetMap

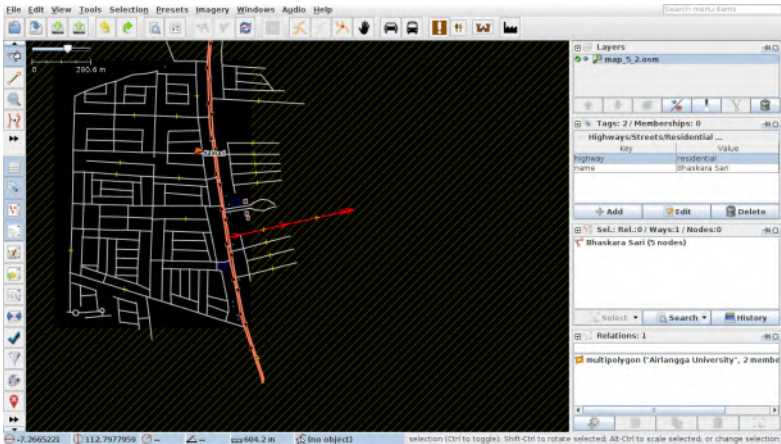
Peta yang telah di ekspor dari OpenStreetMap kemudian dibuka menggunakan JOSM untuk *diedit* lebih lanjut. Jalan yang tidak digunakan dan jalan yang terisolasi dihapus dari peta. Beberapa jalan baru juga ditambahkan agar tidak ada jalan yang buntu. *Screenshot* dari proses *editing* dapat dilihat pada gambar 4.2 dan 4.3.

Setelah proses *editing* dari peta selesai, peta tersebut kemudian dikonversi menjadi *file* dengan format `.net.xml` menggunakan `netconvert`. Perintah konversi dapat dilihat pada gambar 4.4.

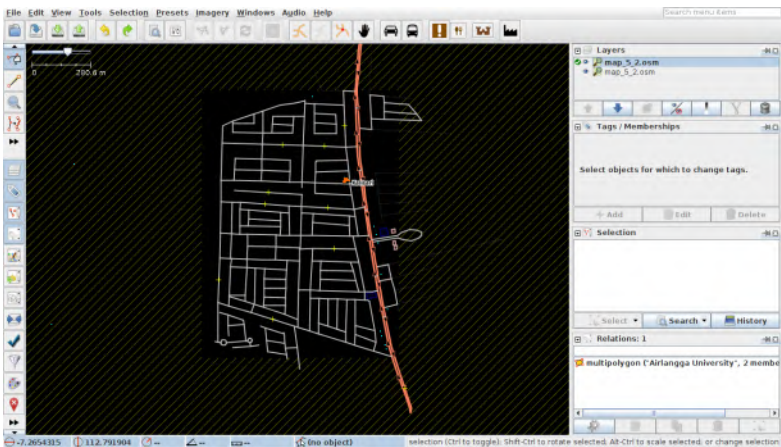
```
netconvert --remove-edges.by-vclass pedestrian,rail
↳ --try-join-tls --osm-files map.osm --output-file
↳ map.net.xml --remove-edges.isolated --type-files
↳ osmNetconvert.typ.xml
```

Gambar 4.4: Perintah untuk melakukan konversi *file* `.osm` ke `.net.xml`

Setelah peta selesai dikonversi tahap selanjutnya adalah membuat titik awal dan titik akhir dari setiap kendaraan yang masuk dalam



Gambar 4.2: Proses *editing* peta pada JOSM



Gambar 4.3: Hasil *editing* peta menggunakan JOSM

simulasi. Untuk melakukan itu digunakan *tool* `randomTrips.py`. Perintah yang digunakan pada `randomTrips.py` dapat dilihat pada gambar 4.5.

```
python $SUMO_HOME/tools/randomTrips.py -n map.net.xml
↪ --seed=42 --fringe-factor 5 -r map.passenger.rou.xml -e
↪ 300 --vehicle-class passenger --vclass passenger
↪ --prefix veh --min-distance 300 --trip-attributes
↪ 'departLane="best"'
```

Gambar 4.5: Perintah untuk membuat titik awal dan akhir untuk setiap kendaraan

File `map.passenger.rou.xml` yang merupakan *output* dari `randomTrips.py`. Untuk merubah standar deviasi kecepatan kendaraan, dalam tag `<vType>` perlu ditambahkan atribut `speedDev` yang berisikan nilai deviasi kecepatan kendaraan. Setelah atribut tersebut ditambahkan *file* tersebut kemudian diproses menggunakan `route2trips.py` untuk membuat jalur yang digunakan kendaraan untuk mencapai titik tujuannya. Gambar 4.6 menunjukkan perintah yang menggunakan `route2trips.py`.

```
python $SUMO_HOME/tools/route2trips.py map.passenger.rou.xml
↪ > map.passenger.trips.xml
```

Gambar 4.6: Perintah untuk membuat rute kendaraan

Setelah *file* peta dan trips tersedia maka *file* terakhir yang diperlukan adalah skrip skenario untuk SUMO yang berekstensi `.sumocfg`. Contoh *file* tersebut dapat dilihat pada gambar 4.7. *File* `.sumocfg` kemudian ditaruh pada tempat yang sesuai dengan *relative path* terhadap *file* yang telah dideskripsikan didalamnya. Untuk melihat tampilan grafis simulasi lalu lintas *file* `.sumocfg` dapat dibuka menggunakan `sumo-gui`. Cuplikan pergerakan dapat dilihat pada gambar 4.8.

Untuk mendapatkan hasil dari simulasi SUMO dalam format xml, saat simulasi perlu diberikan parameter `--fcd-output`. Se-

```
1 <?xml version="1.0" encoding="UTF-8"?>
2 <configuration
   ↪  xmlns:xsi="http://www.w3.org/2001/XMLSchema-instance"
   ↪  xsi:noNamespaceSchemaLocation="http://sumo.dlr.de/xsd/sumoConfigura
3
4 <input>
5 <net-file value="map.net.xml"/>
6 <route-files value="map.passenger.trips.xml"/>
7 </input>
8
9 <processing>
10 <ignore-route-errors value="true"/>
11 </processing>
12
13 <report>
14 <verbose value="true"/>
15 <no-step-log value="true"/>
16 </report>
17
18 </configuration>
```

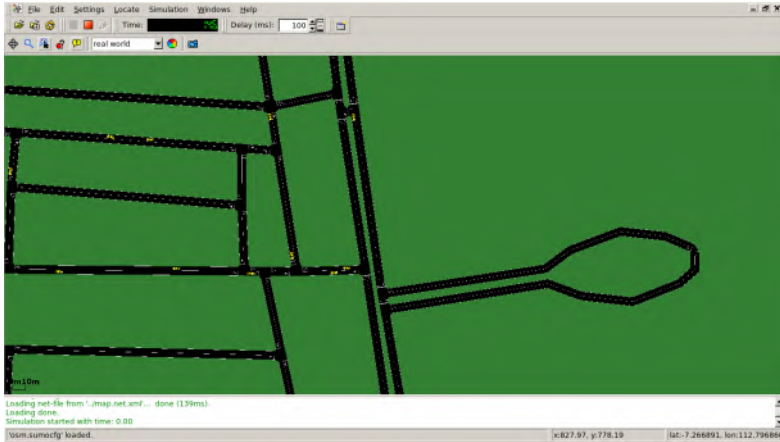
Gambar 4.7: Isi dari *file* .sumocfg

telah itu hasil simulasi dikonversi menjadi *file* skenario mobilitas NS-2 menggunakan `traceExporter.py`. Perintah untuk simulasi dan konversi dapat dilihat pada gambar 4.9.

4.3 Implementasi Protokol HM-AOMDV

Protokol HM-AOMDV merupakan turunan dari protokol AO-MDV. Perubahan yang dilakukan pada protokol AODV antara lain adalah:

- Struktur data HELLO
- Struktur data RREP
- Penanganan paket HELLO
- Penanganan paket RREP



Gambar 4.8: Cuplikan simulasi pada sumo-gui

```
sumo -c osm.sumocfg --fcd-output sumoTrace.xml
```

```
python $SUMO_HOME/tools/traceExporter.py --fcd-input
↳ sumoTrace.xml --ns2mobility-output ns2mobility.tcl
↳ --ns2config-output ns2config.tcl --ns2activity-output
↳ ns2activity.tcl
```

Gambar 4.9: Perintah simulasi SUMO dan konversi ke *file* tcl

Kode implementasi dari protokol AOMDV pada NS-2 versi 2.35 berada pada direktori `ns-2.35/aomdv`. Di dalam direktori tersebut terdapat beberapa file yaitu `aomdv.cc`, `aomdv.h`, `aomdv_logs.cc`, `aomdv_logs.h`, `aomdv_packet.h`, `aomdv_rqueue.cc`, `aomdv_rqueue.h`, `aomdv_rtable.cc` dan `aomdv_rtable.h`. Dalam implementasi ini, *file* yang akan dimodifikasi adalah `aomdv_packet.h` untuk mengubah struktur paket *routing*, `aomdv.cc` dan `aomdv.h` untuk merubah perilaku *node* saat memproses sebuah paket, serta `aomdv_rtable.cc` dan `aomdv_rtable.h` untuk mengubah perilaku

dari *routing table* pada AOMDV.

Pada bagian ini penulis akan menjelaskan langkah - langkah dalam mengimplementasikan protokol HM-AOMDV dengan menggunakan protokol AOMDV sebagai dasarnya.

4.3.1 Implementasi Struktur Data HELLO dan RREP

Pada implementasi protokol AODV maupun AOMDV di NS-2, paket HELLO dan RREP diimplementasikan sebagai satu buah *struct* yang sama. Untuk mengklasifikasikan apakah paket tersebut merupakan paket HELLO ataupun RREP, sebuah *node* akan membandingkan *FLAG* yang terdapat pada paket tersebut. Gambar 4.10 menunjukkan bagaimana HELLO dan RREP diimplementasikan pada NS-2.

Berdasarkan tabel 2.1 data yang ditambahkan pada HELLO dan RREP masing - masing adalah *speed* dan *mobility factor*. Untuk menampung nilai tersebut maka dua buah variabel baru yaitu *rp_speed* dan *rp_factor* ditambahkan kedalam *struct* yang sudah disediakan. Kode implementasi HELLO dan RREP pada HM-AOMDV dapat dilihat pada lampiran A.5.

4.3.2 Modifikasi Class AOMDV

Seperti penjelasan yang diberikan pada subseksi 2.2.3 *mobility factor* dihitung berdasarkan nilai kecepatan *neighbor* yang didapatkan melalui HELLO dan kemudian di-*broadcast* kembali saat mengirimkan RREP. Selain itu dibutuhkan juga nilai Mf_{pre} dan N . Oleh karena itu hal pertama yang harus disiapkan adalah sebuah variabel pada setiap *node* yang akan menyimpan nilai Mf_{pre} , kecepatan dan N .

Untuk memiliki variabel yang terdapat pada semua *node* dan mudah untuk diakses saat pengolahan paket, maka variabel tersebut harus ditaruh kedalam *class* AOMDV. Definisi dari *class* AOMDV terdapat pada *file* *aomdv.h*. Pada bagian *protected* tambahkan tiga

```

1  struct hdr_aomdv_reply {
2      u_int8_t      rp_type; // Packet Type
3      u_int8_t      reserved[2];
4      u_int8_t      rp_hop_count; // Hop Count
5      nsaddr_t      rp_dst;      // Destination IP Address
6      u_int32_t     rp_dst_seqno; // Destination Sequence
↳   Number
7      nsaddr_t      rp_src;      // Source IP Address
8      double        rp_lifetime; // Lifetime
9
10     double        rp_timestamp; // when corresponding REQ
↳   sent;
11
12     // used to compute route discovery latency
13     // AOMDV code
14     u_int32_t     rp_bcast_id; // Broadcast ID of the
↳   corresponding RREQ
15     nsaddr_t      rp_first_hop;
16
17     inline int size() {
18         int sz = 0;
19         sz = 6*sizeof(u_int32_t);
20         // AOMDV code
21         if (rp_type == AOMDVTYPE_RREP) {
22             sz += sizeof(u_int32_t); // rp_bcast_id
23             sz += sizeof(nsaddr_t); // rp_first_hop
24         }
25         assert (sz >= 0);
26         return sz;
27     }
28
29 };

```

Gambar 4.10: Implementasi *struct* HELLO dan RREP pada NS-2

buah variabel `int` `hello_counter`, `float` `mobility_factor` dan `float` `vehicle_speed`. Selain itu, diperlukan sebuah objek `MobileNode` untuk mendapatkan kecepatan dari kendaraan. Sehingga pada `class` `AOMDV` ditambahkan juga variabel `MobileNode* iNode` dan pada `file` `aomdv.h` ditambahkan juga header yang diperlukan untuk `MobileNode` dengan cara menambahkan baris `#include <mobilenode.h>` setelah `include guard`. Gambaran mengenai perubahan yang dilakukan pada `file` `aomdv.h` dapat dilihat pada gambar 4.11.

```

1  #ifndef __aomdv_h_
2  #define __aomdv_h_
3
4  //Another include
5  include <mobilenode.h> //MobileNode
6
7  //Another class definition
8  class AOMDV: public Agent{
9      //Another method and attribute definition
10     protected:
11         int hello_counter;
12         float mobility_factor;
13         float vehicle_speed;
14         MobileNode* iNode;
15         float weight_factor;
16 };

```

Gambar 4.11: Gambaran mengenai perubahan yang dilakukan pada `aomdv.h`

4.3.3 Modifikasi Proses Pengiriman HELLO

Setiap `node` akan mengirimkan HELLO setiap `HELLO_INTERVAL`. `Method` yang menjalankan pengiriman paket HELLO adalah `void AOMDV::sendHello(void)`.

Sebelum mengirimkan kecepatan menggunakan HELLO, nilai kecepatan harus didapatkan terlebih dahulu. Untuk mendapatkan kecepatan kendaraan saat ini dibutuhkan sebuah objek `MobileNode` yang menunjuk ke `node` ini. *Pointer* yang telah didefinisikan pada `aomdv.h` dapat digunakan untuk mendapatkan objek tersebut dengan menggunakan kode `iNode = (MobileNode*) (Node::get_node_by_address(index))`. Kemudian kecepatan kendaraan bisa didapatkan dengan menggunakan `vehicle_speed = ((MobileNode *) iNode)->speed()`.

Selain untuk mengirim paket HELLO, *method* `void AOMDV::sendHello(void)` juga menandakan bahwa waktu sebanyak `HELLO_INTERVAL` telah berlalu. Sehingga pada *method* ini nilai dari Mf_{pre} dan N akan di-*reset*. Setelah itu nilai kecepatan kendaraan dapat dimasukkan ke dalam paket yang akan dikirim. Gambaran perubahan yang dilakukan dapat dilihat pada gambar 4.12. Sedangkan perubahan secara lengkap yang dilakukan pada *method* tersebut dapat dilihat pada lampiran A.6.

4.3.4 Modifikasi Proses Penerimaan HELLO

Method yang bertugas untuk mengatur proses penerimaan paket HELLO adalah `void AOMDV::recvHello (Packet *p)`. Pada HM-AOMDV, proses yang dilakukan pada saat penerimaan HELLO adalah menghitung nilai *mobility factor* dari *node* penerima. Rumus untuk menghitung *mobility factor* dapat dilihat pada persamaan 2.1.

Variabel - variabel yang diperlukan untuk menghitung nilai *mobility factor* telah disediakan pada paket HELLO dan *class* `AOMDV`. Implementasi dari *method* `AOMDV::recvHello` dapat dilihat pada lampiran A.7.

```

1  void
2  AOMDV::sendHello() {
3      //Allocate packet
4      Packet *p = Packet::alloc();
5      struct hdr_cmn *ch = HDR_CMN(p);
6      struct hdr_ip *ih = HDR_IP(p);
7      struct hdr_aomdv_reply *rh = HDR_AOMDV_REPLY(p);
8
9      //HM-AOMDV code
10     iNode = (MobileNode*)
    ↪ (Node::get_node_by_address(index));
11     vehicle_speed = ((MobileNode *) iNode)->speed();
12     hello_counter = 0;
13
14     rh->rp_speed = vehicle_speed;
15     mobility_factor = 0;
16     //-----
17
18     //Set other parameter in packet and send it
19 }

```

Gambar 4.12: Gambaran perubahan pada *method*

AOMDV::sendHello

4.3.5 Modifikasi Proses Penerimaan RREP

Modifikasi dari proses penerimaan RREP pada HM-AOMDV didasarkan pada *flowchart* yang terdapat pada gambar 2.5. *Pseudo-code* yang mengimplementasikan *flowchart* tersebut dapat dilihat pada gambar 4.13, sedangkan implementasi dalam kode C++ dapat dilihat dalam lampiran A.8 dan A.9.

4.4 Implementasi Metrik Analisis

Output dari simulasi skenario pada NS-2 adalah sebuah *tracefile* yang berisikan data berupa *plain text*. Dari data tersebut penulis

```

Input: rrep
seqnumber  $\leftarrow$  sequence of rrep;
Mf  $\leftarrow$  mobility factor of rrep;
destination  $\leftarrow$  routing table of AOMDV;
Mflast  $\leftarrow$  last mobility factor of rtable;
rt_entry  $\leftarrow$  rt_lookup(rtable, destination);
if rt_entry == 0 then
  | rt_entry  $\leftarrow$  rt_add(rtable, destination);
end
seqnumberlast  $\leftarrow$  sequence number of rtentry;
if seqnumber > seqnumberlast then
  | rt_clear(rt_entry);
  | rt_add(rt_entry, rrep);
  | Mflast  $\leftarrow$  Mf;
end
if seqnumber == seqnumberlast & Mf >= Mflast then
  | rt_add(rt_entry, rrep);
  | if Mf > Mflast then
    | Mflast  $\leftarrow$  Mf;
  | end
end

```

Gambar 4.13: Pseudocode dalam memproses RREP yang diterima

dapat menganalisa performa dari *routing protocol* selama simulasi. Tiga buah metrik yang penulis analisa adalah *packet delivery ratio*, *normalized routing overhead* dan *error rate*.

4.4.1 Implementasi PDR

Pada buku Tugas Akhir ini bagian 2.7.3 telah ditunjukkan contoh dari struktur data *event* yang dicatat pada *tracefile* NS-2. Kemudian pada persamaan 3.1 telah dijelaskan rumus untuk menghitung PDR. Skrip awk untuk menghitung PDR berdasarkan kedua informasi tersebut dapat dilihat pada lampiran A.2.

Pada skrip tersebut penulis hanya mem-*filter* baris yang berisikan AGT karena kata tersebut menunjukkan *event* yang bersangkutan dengan paket komunikasi data. Dengan menggunakan karakter pertama dari baris yang telah di-*filter* jumlah dari paket yang dikirim dan diterima dapat dihitung. Setelah itu, nilai dari PDR dapat dihitung dengan menggunakan persamaan yang telah dijelaskan.

Contoh perintah untuk memanggil skrip tel untuk menganalisis *tracefile* dan *outputnya* dapat dilihat masing - masing pada gambar 4.14 dan 4.15.

```
awk -f PDR.awk hm-aomdv.tr
```

Gambar 4.14: Perintah untuk menjalankan skrip awk untuk menghitung PDR

```
cbr s:541 r:473, r/s Ratio:0.8743, f:2028
```

Gambar 4.15: *Output* dari skrip PDR.awk

4.4.2 Implementasi *Normalized Routing Overhead* dan *Error Rate*

Penghitungan dari *normalized routing overhead* didasarkan pada persamaan 3.2. Kode implementasi dari persamaan tersebut dapat dilihat pada lampiran A.3.

Analisis dimulai dengan menghitung jumlah paket komunikasi data yang diterima oleh *node* tujuan. Setelah itu dihitung jumlah paket RREQ, RREP dan RRER yang dikirim dan di=*forward*. Kemudian *normalized routing overhead* dapat dihitung dengan membandingkan kedua nilai tersebut. *Error rate* juga sekaligus dihitung dengan mendapatkan jumlah RRER yang dikirim pada simulasi tersebut.

Contoh perintah untuk menjalankan kode yang menghitung *normalized routing overhead* dapat dilihat pada gambar 4.16. Tampilan *output* yang diberikan dapat dilihat pada gambar 4.17.

```
awk -f overhead.awk hm-aomdv.tr
```

Gambar 4.16: Perintah untuk menjalankan skrip awk untuk menghitung *normalized routing overhead* dan *error rate*

```
Normalized Overhead: xxx
Error Rate: xxx
```

Gambar 4.17: *Output* dari skrip overhead.awk

4.4.3 Implementasi *End-to-End Delay (E2E)*

Perhitungan E2E didasarkan oleh rumus yang dijelaskan pada persamaan 3.3. Pada perhitungan E2E, kunci yang perlu diperhatikan dari *tracefile* adalah variabel *action* pada kolom pertama, waktu

pada kolom kedua, *layer* pada kolom ke 4, id paket pada kolom ke 6 dan tipe paket pada kolom ke 7. Kode implementasi dari *pseudo-code* tersebut dapat dilihat pada lampiran A.4.

Contoh perintah untuk memanggil skrip tel untuk menganalisis *tracefile* dan *outputnya* dapat dilihat masing-masing pada gambar 4.18 dan 4.19.

```
awk -f e2e.awk hm_aomdv.tr
```

Gambar 4.18: Perintah untuk menjalankan skrip awk untuk menghitung E2E

```
Average delay: 0.0034
```

Gambar 4.19: *Output* dari skrip e2e.awk

4.5 Implementasi Simulasi pada NS-2

Untuk melakukan simulasi VANET menggunakan NS-2 hal pertama yang harus dilakukan adalah mendeskripsikan lingkungan simulasi pada sebuah *file* OTcl. *File* ini berisikan konfigurasi setiap *node* dan juga langkah langkah yang dilakukan selama simulasi. Contoh potongan pengaturan *node* dapat dilihat pada gambar 2.10.

Pengaturan yang dilakukan pada skenario tersebut antara lain lokasi *tracefile*, ukuran topografi, konfigurasi *node* dan konfigurasi pengiriman data. Kode implementasi skenario yang digunakan pada Tugas Akhir ini dapat dilihat pada lampiran A.1. Tabel 4.1 merupakan penjelasan dari bagian *node-config* dalam kode skenario simulasi.

Tabel 4.1: Penjelasan dari parameter node-config

Parameter	Value	Penjelasan
llType	LL	Menggunakan <i>link layer</i> standar
mactType	Mac/802_11	Menggunakan tipe MAC 802.11 karena komunikasi data bersifat wireless
ifqType	Queue /DropTail /PriQueue	Menggunakan <i>priority queue</i> sebagai antrian paket dan paket yang dihapus saat antrian penuh adalah paket yang paing baru
ifqLen	50	Jumlah maksimal paket pada antrian
antType	Antenna /Omni Antenna	Jenis antena yang digunakan adalah <i>omni antenna</i>
propType	Propagati on/Two Ray Ground	Tipe propagasi sinyal wireless adalah <i>two ray ground</i>
phyType	Phy /Wireless Phy	Komunikasi menggunakan media <i>wireless</i>
topo Instance	\$topo	Topologi yang digunakan daat menjalankan skenario
agentTrace	ON	Aktifkan pencatatan aktifitas dari agen <i>routing protocol</i>
router Trace	ON	Aktifkan pencatatan pada aktifitas <i>routing protocol</i>
mac Trace	OFF	Matikan pencatatan MAC <i>layer</i> pada <i>trace file</i>
movement Trace	OFF	Matikan pencatatan pergerakan <i>node</i>
channel	Channel /Wireless Channel	Channel komunikasi yang digunakan

Setelah semua *file mobility*, *activity* dan skenario telah siap, maka langkah selanjutnya adalah menjalankan skenario yang sudah dibuat menggunakan NS-2. Untuk menjalankan skenario simulasi masukkan perintah `ns <nama-file>`. Setelah simulasi selesai dijalankan maka hasil simulasi dapat dianalisis dari *tracefile* yang telah ditentukan pada *file* skenario. Isi dari *tracefile* adalah catatan mengenai *event* yang dialami paket data yang beredar dalam simulasi, baik itu saat dikirim, diterima maupun saat di-*forward*.

Halaman ini sengaja dikosongkan

BAB 5

UJI COBA DAN EVALUASI

Pada bab ini akan dibahas mengenai uji coba dan evaluasi dari skenario simulasi yang telah dibuat.

5.1 Lingkungan Uji Coba

Uji coba dilakukan pada sebuah komputer dengan sistem operasi Linux yang telah terpasang NS-2 di dalamnya. Spesifikasi komputer yang digunakan dalam uji coba dapat dilihat pada tabel 5.1.

Tabel 5.1: Spesifikasi komputer yang digunakan

Komponen	Spesifikasi
CPU	<i>Processor Intel[®] Core[™] i5-2410M CPU @ 2.30GHz × 4</i>
Sistem Operasi	Linux Ubuntu 14.04 64-bit
Memori	4 GB DDR3 RAM
Penyimpanan	750GB HDD

Pengujian dilakukan dengan menjalankan skenario yang telah dibuat pada NS-2. Kemudian tracefile dari simulasi tersebut dianalisis menggunakan skrip AWK yang telah dibuat sebelumnya.

5.2 Uji Coba Peta I

Peta I merupakan didasarkan oleh suatu lokasi di Surabaya. Hasil uji coba pada Peta I akan menunjukkan performa dari protokol HM-AOMDV dan AOMDV dalam menangani VANET pada topologi yang mendekati dunia nyata.

5.2.1 Parameter Uji Coba Peta I

Berikut ini adalah parameter yang digunakan untuk menjalankan simulasi:

Tabel 5.2: Parameter simulasi Peta I

No.	Parameter	Spesifikasi
1	Waktu simulasi	110 detik
2	Area simulasi	1600 m x 1800 m
3	Banyak kendaraan	120 - 230

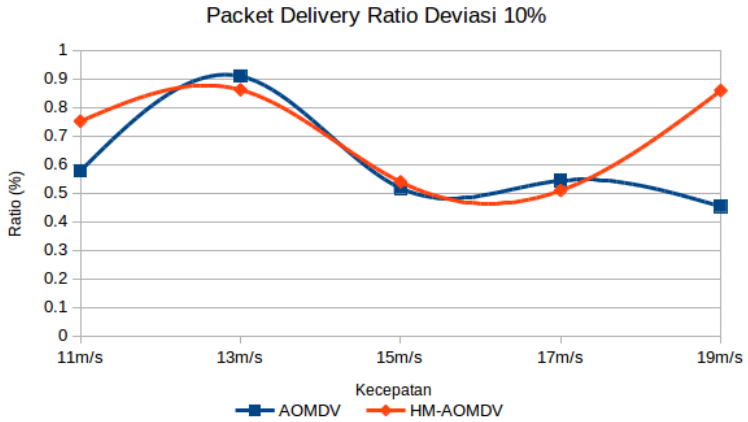
5.2.2 Hasil Uji Coba Peta I

Hasil analisis mengenai PDR, *normalized routing overhead*, *error rate* dan *end-to-end delay* dapat dilihat pada gambar 5.1, 5.2, 5.3 dan 5.4.

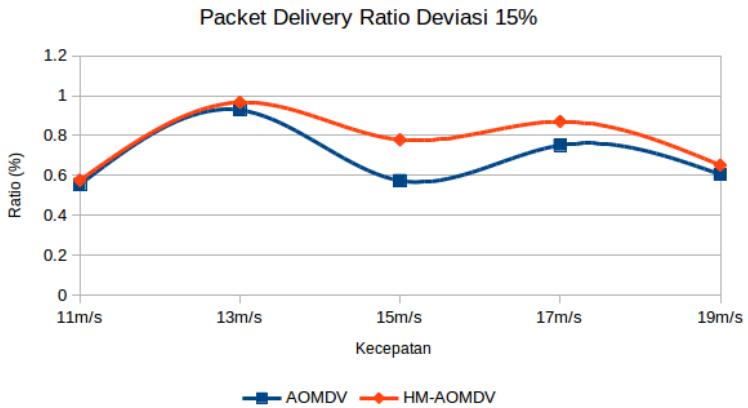
Berdasarkan hasil simulasi yang telah dilakukan, dapat dilihat bahwa PDR dari protokol HM-AOMDV cenderung lebih baik pada kecepatan dan deviasi yang sama jika dibandingkan dengan protokol AOMDV. Data yang menunjukkan performa protokol HM-AOMDV yang lebih rendah dibandingkan AOMDV adalah data pada kecepatan 13 m/s deviasi 10% dan kecepatan 17m/s deviasi 10%.

Pada kasus kecepatan 13 m/s deviasi 10% *error rate* dari protokol HM-AOMDV dan AOMDV bernilai sama, sedangkan nilai *normalized routing overherad* dari HM-AOMDV hanya lebih tinggi 0.074 poin. Hal ini berarti rendahnya PDR protokol HM-AOMDV dibandingkan protokol AOMDV pada kasus ini disebabkan oleh posisi putusnya jalur komunikasi. Dengan menggunakan kode pada lampiran A.10 untuk melihat rute yang dilalui oleh paket data, penulis dapat membuktikan bahwa penyebab PDR HM-AOMDV lebih rendah pada kasus ini adalah posisi putusnya jalur komunikasi.

Kasus pada kecepatan 17 m/s disebabkan oleh lebih tingginya *error rate* pada HM-AOMDV sebanyak dua. Perbedaan *normalized*



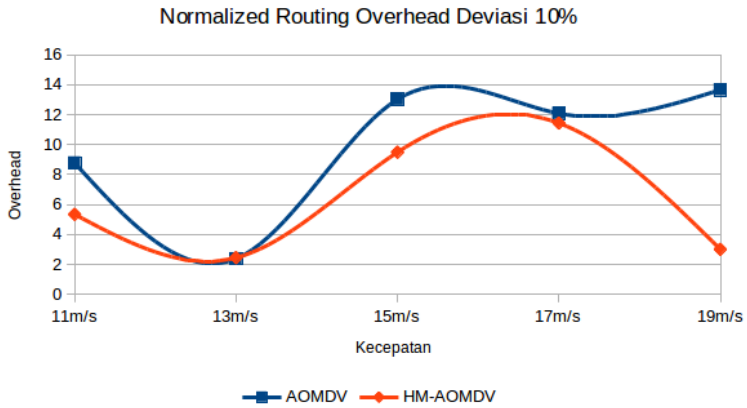
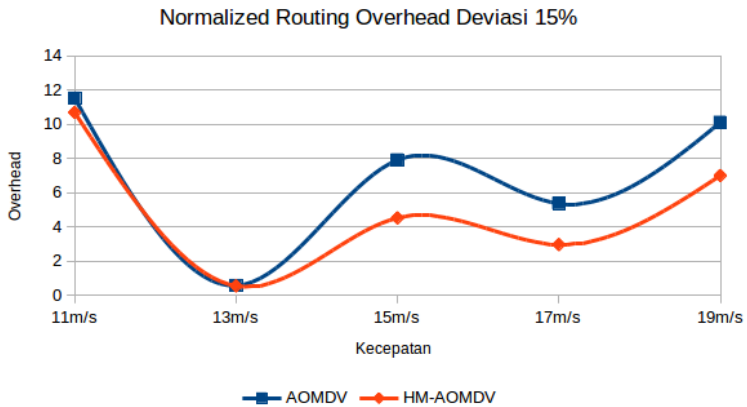
(a) Grafik PDR pada Deviasi 10%



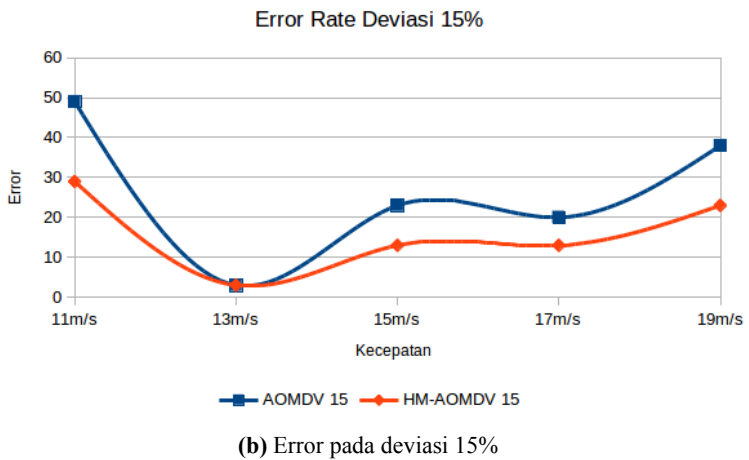
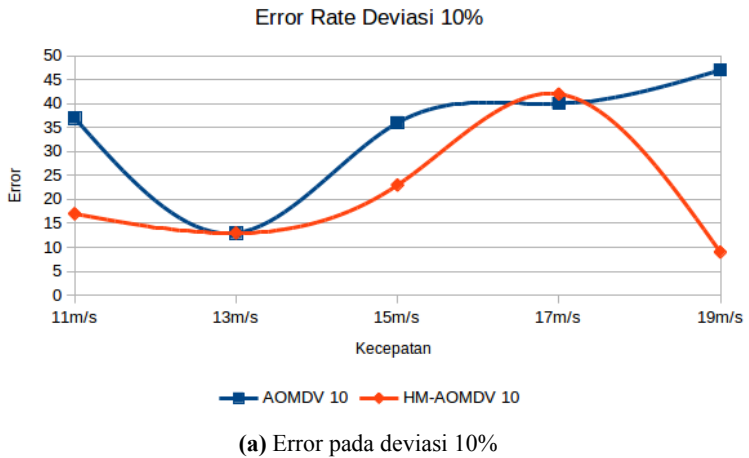
(b) Grafik PDR pada Deviasi 15%

Gambar 5.1: Grafik PDR dari Peta I

routing overhead pada kasus tersebut adalah sebanyak 0.647 poin lebih rendah dibandingkan AOMDV, juga berdasarkan dari *output*

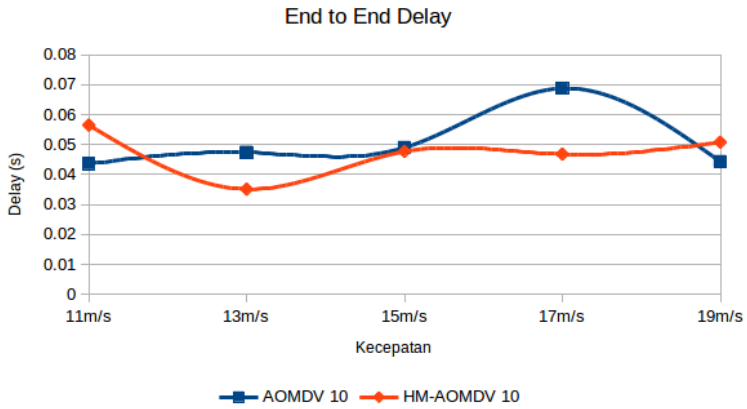
(a) *Overhead* pada deviasi 10%(b) *Overhead* pada deviasi 15%**Gambar 5.2:** Grafik *normalized routing overhead* dari Peta I

kode pada lampiran A.10 dan data yang tercantum pada *mobility file*, *node* tempat terputusnya jaringan berjalan menjauh dari *next hop*. Hal ini menunjukkan bahwa arah dari *node* juga dapat diperhitungk-

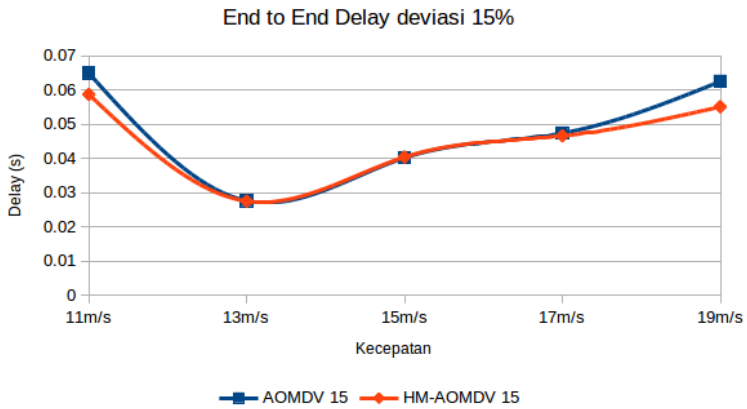


Gambar 5.3: Grafik *error rate* dari Peta I

an untuk menghitung faktor pemilihan *next hop*.



(a) Delay pada deviasi 10%



(b) Delay pada deviasi 15%

Gambar 5.4: Grafik *end-to-end delay* dari Peta I

5.3 Uji Coba Peta II

Peta II merupakan peta grid yang dibangun berdasarkan peta grid dari SUMO.

5.3.1 Parameter Uji Coba Peta II

Berikut ini adalah parameter yang digunakan untuk menjalankan simulasi:

Tabel 5.3: Parameter simulasi Peta II

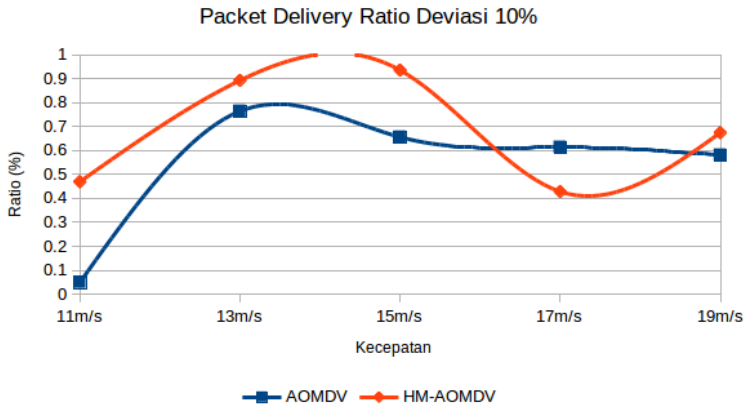
No.	Parameter	Spesifikasi
1	Waktu simulasi	110 detik
2	Area simulasi	1250 m x 1250 m
3	Banyak kendaraan	120 - 230
4	Jumlah persimpangan	6 x 6
5	Panjang antar persimpangan	250 m

5.3.2 Hasil Uji Coba Peta II

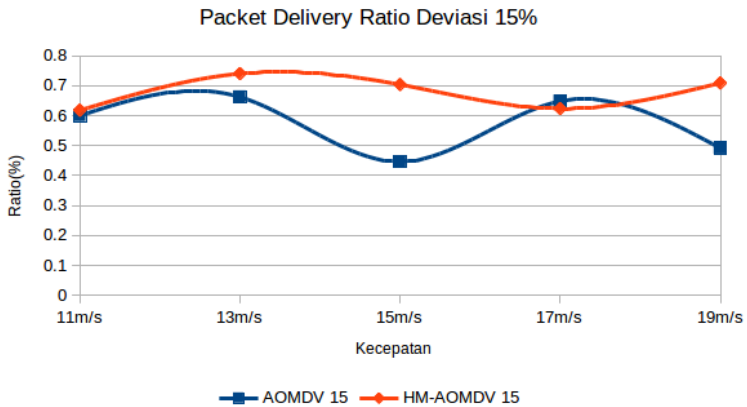
Hasil analisis mengenai PDR, *normalized routing overhead*, *error rate* dan *end-to-end delay* dapat dilihat pada gambar 5.5, 5.6, 5.7 dan 5.8.

Hasil simulasi yang diberikan oleh Peta II mengikuti tren yang mirip dengan Peta I, dimana PDR dari protokol HM-AOMDV cenderung lebih baik dibandingkan dengan protokol AOMDV. Pada simulasi kali ini data yang menunjukkan performa protokol HM-AOMDV yang lebih rendah adalah pada kecepatan 17 m/s dengan deviasi 10% dan 15%.

Kasus pada kecepatan 17 m/s deviasi 10% mirip dengan kasus pada Peta I dengan kecepatan 13 m/s deviasi 10%. Pada kedua kasus tersebut protokol HM-AOMDV dan AOMDV memiliki *error rate* yang sama, tetapi protokol HM-AOMDV memiliki *normalized rou-*



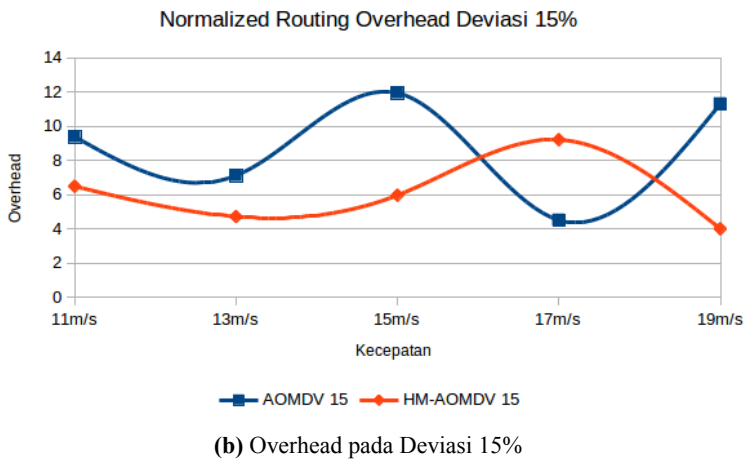
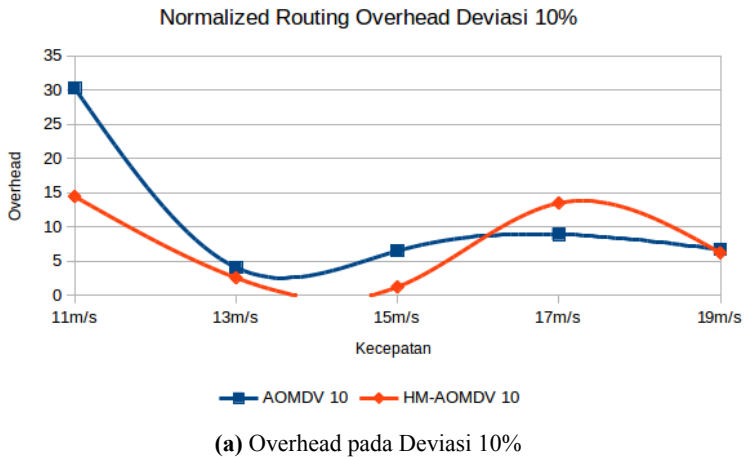
(a) Grafik PDR pada Deviasi 10%



(b) Grafik PDR pada Deviasi 15%

Gambar 5.5: Grafik PDR dari Peta II

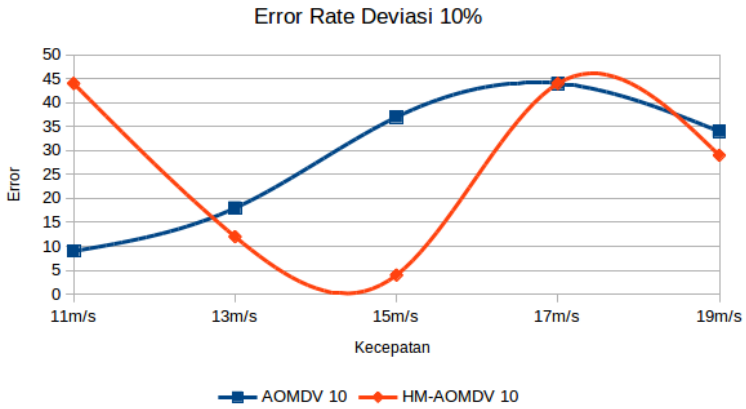
ting overhead yang lebih tinggi. Setelah diperiksa menggunakan skrip pada lampiran A.10 untuk melihat rute yang diambil oleh paket data, terlihat bahwa protokol HM-AOMDV menghabiskan banyak



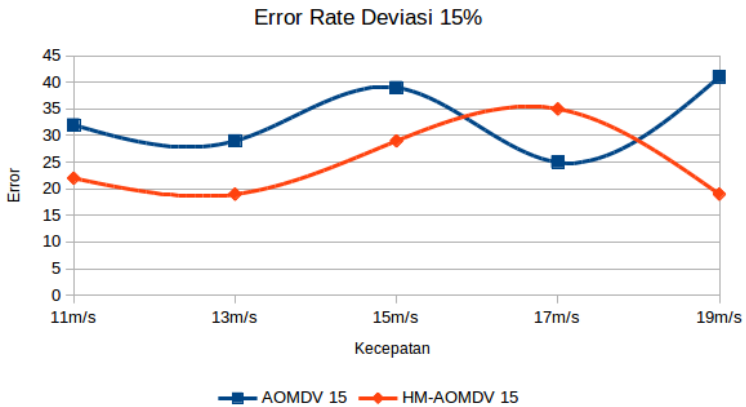
Gambar 5.6: Grafik *normalized routing overhead* dari Peta II

waktu untuk mencari rute alternatif yang masih valid. Oleh sebab itu lebih banyak paket yang akhirnya di-*drop* pada jaringan.

Pada kasus dengan kecepatan 17 m/s deviasi 15% penyebab ren-



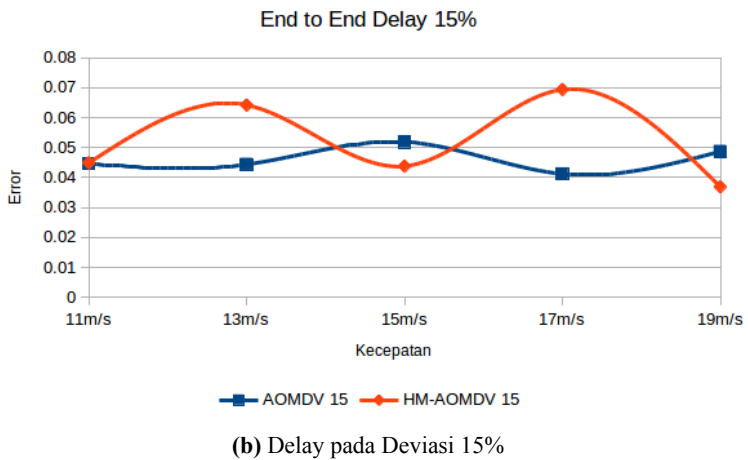
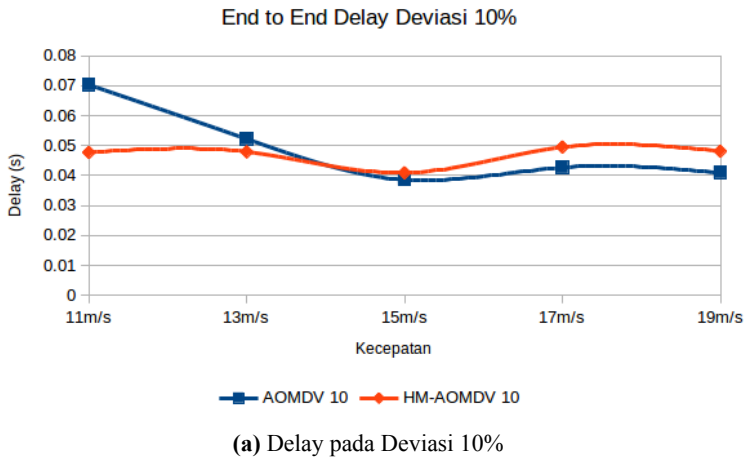
(a) Error pada Deviasi 10%



(b) Error pada Deviasi 15%

Gambar 5.7: Grafik *error rate* dari Peta II

dahnya PDR dapat dikorelasikan dengan lebih tingginya *error rate*. Hal ini berarti protokol HM-AOMDV gagal mendapatkan jalur yang lebih stabil dari protokol AOMDV pada skenario tersebut. Se-



Gambar 5.8: Grafik *end-to-end delay* dari Peta II

telah dianalisis menggunakan kode pada lampiran A.10 dan *mobility file*, dapat dilihat bahwa protokol HM-AOMDV memilih *node* yang berjalan menjauh dari *node* selanjutnya. Hal ini menguatkan

lagi argumen yang diberikan pada percoban sebelumnya yaitu arah pergerakan dari *node* juga dapat digunakan untuk menghitung faktor pemilihan *next hop*.

LAMPIRAN

A.1 Kode skenario NS-2

```
1 # =====
2 # Define options
3 # =====
4 set val(chan) Channel/WirelessChannel;# channel
   ↪ type
5 set val(prop) Propagation/TwoRayGround;#
   ↪ radio-propagation model
6 set val(netif) Phy/WirelessPhy;# network
   ↪ interface type
7 set val(mac) Mac/802_11;# MAC type
8 set val(ifq) Queue/DropTail/PriQueue;#
   ↪ interface queue type
9 set val(ll) LL;# link layer type
10 set val(ant) Antenna/OmniAntenna;# antenna
   ↪ model
11 set val(ifqlen) 50;# max packet in ifq
12 set val(rp) AOMDV;# routing protocol
13
14 set stopTime 280.0
15
16 set opt(config-path) [file dirname [info script]]
17 set opt(dirname) [lindex $argv 0]
18 set opt(output_file) [lindex $argv 1]
19 set opt(cf) $opt(config-path)
20 append opt(cf) "/"
21 append opt(cf) $opt(dirname)
22 append opt(cf) /ns2config.tcl;#contain total
   ↪ vehicle and grid size
23
24 source [file join $opt(cf)]
```

```

25 # =====
26 # Main Program
27 # =====
28 #
29 # Initialize Global Variables
30 #
31 set ns_ [new Simulator]
32 set tracefd [open $opt(output_file) w];#Trace file
33 $ns_ trace-all $tracefd
34
35 # set up topography object
36 set topo [new Topography]
37 $topo load_flatgrid $opt(x) $opt(y)
38
39 #
40 # Create God
41 #
42 set all_node [expr {$opt(nn) + 2}]
43 create-god $all_node
44
45 # Configure node
46
47 set chan_1_ [new $val(chan)]
48 $ns_ node-config -adhocRouting $val(rp) \
49     -llType $val(ll) \
50     -macType $val(mac) \
51     -ifqType $val(ifq) \
52     -ifqLen $val(ifqlen) \
53     -antType $val(ant) \
54     -propType $val(prop) \
55     -phyType $val(netif) \
56     -topoInstance $topo \
57     -agentTrace ON

```

```

58     -routerTrace ON 
59     -macTrace OFF 
60     -movementTrace OFF 
61     -channel $chan_1_
62
63     for {set i 0} {$i < $opt(nn)} {incr i} {
64         set node_($i) [$ns_ node]
65         $node_($i) random-motion 0 ;# disable random
        ↪ motion
66     }
67
68     # Set source node
69     set source_ [$ns_ node]
70     $source_ random-motion 0
71     $source_ set X_ 36.37
72     $source_ set Y_ 1004.27
73     $source_ set Z_ 0
74     set udp_ [new Agent/UDP];# Using UDP transport
        ↪ layer
75     $ns_ attach-agent $source_ $udp_
76     set cbr_ [new Application/Traffic/CBR];# Constant
        ↪ bit rate sender
77     $cbr_ set packetSize_ 512
78     $cbr_ set rate_ 20kb
79     $cbr_ set maxpkts_ 20000
80     $cbr_ set random_ 1
81     $cbr_ attach-agent $udp_
82
83     # Set destination node
84     set destination_ [$ns_ node]
85     $destination_ random-motion 0
86     $destination_ set X_ 774.64
87     $destination_ set Y_ 694.61

```

```

88  $destination_ set Z_ 0
89  set null_ [new Agent/Null]
90  $ns_ attach-agent $destination_ $null_
91  $ns_ connect $udp_ $null_
92
93  $ns_ at 120.0 "$cbr_ start"
94  $ns_ at 230.0 "$cbr_ stop"
95
96  source [file join $opt(af)];# Activity file
97  source [file join $opt(mf)];# Mobility file
98
99  # Initiate other nodes
100 for {set i 0} {$i < $opt(mn) } {incr i} {
101     $ns_ at $stopTime "$node_($i) reset";
102 }
103
104 $ns_ at $stopTime "stop"
105 $ns_ at $stopTime "puts \"NS EXITING...\" ; $ns_
    ↪ halt"
106 proc stop {} {
107     global ns_ tracefd
108     $ns_ flush-trace
109     close $tracefd
110 }
111
112 puts "Starting Simulation..."
113 $ns_ run

```

A.2 Kode awk untuk menghitung *packet delivery ratio*

```
1 BEGIN {
2     sendLine = 0;
3     recvLine = 0;
4     fowardLine = 0;
5 }
6
7 $0 ~/^s.* AGT/ {
8     sendLine ++ ;
9 }
10
11 $0 ~/^r.* AGT/ {
12     recvLine ++ ;
13 }
14
15 $0 ~/^f.* RTR/ {
16     fowardLine ++ ;
17 }
18
19 END {
20     printf "cbr s:%d r:%d, r/s Ratio:%.4f, f:%d
21     ↵ \n", sendLine, recvLine,
22     ↵ (recvLine/sendLine), fowardLine;
23 }
```

A.3 Kode *awk* untuk menghitung *normalized routing overhead* dan *error rate*

```
1 BEGIN {
2     recvLine = 0;
3     routingPacket = 0;
4 }
5
6 $0 ~/^r.* AGT/ {
7     recvLine ++ ;
8 }
9
10 $0 ~/^s|f.* RTR.*REQUEST|REPLY|ERROR/ {
11     routingPacket ++ ;
12 }
13
14 END {
15     printf("Normalized Overhead: %.3f\n",
16     ↪ routingPacket/recvLine);
17 }
```

A.4 Kode *awk* untuk menghitung *end-to-end delay*

```
1 BEGIN {
2     total_delay = 0;
3     recvpkts = 0;
4     sentPkts[0] = 0;
5 }
6
7 $0 ~/^s.* AGT/{
8     sentPkts[$6] = $2
9 }
10
11 $0 ~/^r.* AGT/{
12     recvpkts ++ ;
13     total_delay = total_delay + $2 - sentPkts[$6]
14     delete sentPkts[$6]
15 }
16
17 END {
18     printf("Average delay: %.4f\n",
19     ↪ total_delay/recvpkts);
19 }
```

A.5 Kode implementasi HELLO dan RRER pada HM-AOMDV

```

1  struct hdr_aomdv_reply {
2      u_int8_t      rp_type; // Packet Type
3      u_int8_t      reserved[2];
4      u_int8_t      rp_hop_count; // Hop Count
5      nsaddr_t      rp_dst;      // Destination IP
6      ↪ Address
7      u_int32_t     rp_dst_seqno; // Destination
8      ↪ Sequence Number
9      nsaddr_t      rp_src;      // Source IP
10     ↪ Address
11     double         rp_lifetime; // Lifetime
12
13     double         rp_timestamp; // when
14     ↪ corresponding REQ sent;
15
16     // used to compute route discovery latency
17     // AOMDV code
18     u_int32_t      rp_bcast_id; // Broadcast ID
19     ↪ of the corresponding RREQ
20     nsaddr_t      rp_first_hop;
21
22     //HM-AOMDV code
23     float rp_speed;
24     float rp_factor;
25
26     inline int size() {
27         int sz = 0;
28         sz = 6*sizeof(u_int32_t);
29         // AOMDV code
30         if (rp_type == AOMDVTYPE_RREP) {

```

```
26         sz += sizeof(u_int32_t);    //
↪   rp_bcast_id
27         sz += sizeof(nsaddr_t);    //
↪   rp_first_hop
28     }
29     assert (sz >= 0);
30     return sz;
31 }
32
33 };
```

A.6 Kode implementasi `AOMDV::sendHello`

```

1  void
2  AOMDV::sendHello() {
3      Packet *p = Packet::alloc();
4      struct hdr_cmn *ch = HDR_CMN(p);
5      struct hdr_ip *ih = HDR_IP(p);
6      struct hdr_aomdv_reply *rh =
    ↪ HDR_AOMDV_REPLY(p);
7
8  #ifdef DEBUG
9      fprintf(stderr, "sending Hello from %d at
    ↪ %.2f\n", index,
    ↪ Scheduler::instance().clock());
10 #endif // DEBUG
11
12     rh->rp_type = AOMDVTYPE_HELLO;
13     //rh->rp_flags = 0x00;
14     // AOMDV code
15     rh->rp_hop_count = 0;
16     rh->rp_dst = index;
17     rh->rp_dst_seqno = seqno;
18     rh->rp_lifetime = (1 + ALLOWED_HELLO_LOSS) *
    ↪ HELLO_INTERVAL;
19     //HM-AOMDV code
20     iNode = (MobileNode*)
    ↪ (Node::get_node_by_address(index));
21     vehicle_speed = ((MobileNode *)
    ↪ iNode)->speed();
22     hello_counter = 0;
23     double xpos_t, ypos_t, zpos_t;
24
25     rh->rp_speed = vehicle_speed;

```

```
26     mobility_factor = 0;
27     //-----
28
29     // ch->uid() = 0;
30     ch->ptype() = PT_AOMDV;
31     ch->size() = IP_HDR_LEN + rh->size();
32     ch->iface() = -2;
33     ch->error() = 0;
34     ch->addr_type() = NS_AF_NONE;
35     ch->prev_hop_ = index;           // AODV hack
36
37     ih->saddr() = index;
38     ih->daddr() = IP_BROADCAST;
39     ih->sport() = RT_PORT;
40     ih->dport() = RT_PORT;
41     ih->ttl_ = 1;
42
43     Scheduler::instance().schedule(target_, p,
↪ 0.0);
44 }
```

A.7 Kode implementasi `AOMDV::recvHello`

```

1  void
2  AOMDV::recvHello(Packet *p) {
3      // AOMDV code
4      struct hdr_ip *ih = HDR_IP(p);
5      struct hdr_aomdv_reply *rp =
    ↪ HDR_AOMDV_REPLY(p);
6      AOMDV_Neighbor *nb;
7
8      nb = nb_lookup(rp->rp_dst);
9      if(nb == 0) {
10         nb_insert(rp->rp_dst);
11     }
12     else {
13         nb->nb_expire = CURRENT_TIME +
14             (1.5 * ALLOWED_HELLO_LOSS *
    ↪ HELLO_INTERVAL);
15     }
16
17     //HM-AOMDV code
18     float r = fabs(vehicle_speed - rp->rp_speed);
19     int counter = ++hello_counter;
20     if(counter == 0) counter = 1;
21
22     //If packet is received the same time when
    ↪ node send HELLO
23     float mf_pre = mobility_factor;
24     mobility_factor = (pow(1.0 + r, weight_factor)
    ↪ + (mf_pre * (float)(counter - 1))) / (float)
    ↪ counter;
25     //-----
26     // AOMDV code

```

```
27     // Add a route to this neighbor
28     ih->daddr() = index;
29     rp->rp_src = ih->saddr();
30     rp->rp_first_hop = index;
31     recvReply(p);
32
33 }
```

A.8 Kode implementasi `AOMDV::recvReply`

```

1  void
2  AOMDV::recvReply(Packet *p) {
3      struct hdr_cmn *ch = HDR_CMN(p);
4      struct hdr_ip *ih = HDR_IP(p);
5      struct hdr_aomdv_reply *rp =
    ↪ HDR_AOMDV_REPLY(p);
6      aomdv_rt_entry *rt0, *rt;
7      AOMDVBroadcastID* b = NULL;
8      AOMDV_Path* forward_path = NULL;
9
10     #ifdef DEBUG
11         fprintf(stderr, "%d - %s: received a REPLY\n",
    ↪ index, __FUNCTION__);
12     #endif // DEBUG
13
14
15     /* If I receive a RREP with myself as source -
    ↪ drop packet (should not occur).
16     Comment: rp_dst is the source of the RREP, or
    ↪ rather the destination of the RREQ. */
17     if (rp->rp_dst == index) {
18         Packet::free(p);
19         return;
20     }
21
22     /*
23     * Got a reply. So reset the "soft state"
    ↪ maintained for
24     * route requests in the request table. We
    ↪ don't really have

```

```

25     * have a separate request table. It is just
↳ a part of the
26     * routing table itself.
27     */
28     // Note that rp_dst is the dest of the data
↳ packets, not the
29     // the dest of the reply, which is the src of
↳ the data packets.
30
31     rt = rtable.rt_lookup(rp->rp_dst);
32
33     /*
34     * If I don't have a rt entry to this host...
↳ adding
35     */
36     if(rt == 0) {
37         rt = rtable.rt_add(rp->rp_dst);
38     }
39
40     /* If RREP contains more recent seqno for
↳ (RREQ) destination -
41     delete all old paths and add the new
↳ forward path to (RREQ) destination */
42     if (rt->rt_seqno < rp->rp_dst_seqno) {
43         rt->rt_seqno = rp->rp_dst_seqno;
44         rt->rt_advertised_hops = INFINITY;
45         rt->path_delete();
46         rt->rt_flags = RTF_UP;
47         /* Insert forward path to RREQ
↳ destination. */

```

```

48     forward_path = rt->path_insert(rp->rp_src,
↳ rp->rp_hop_count+1, CURRENT_TIME +
↳ rp->rp_lifetime, rp->rp_first_hop,
↳ rp->rp_speed_factor); //HM-AOMDV change
49     // CHANGE
50     rt->rt_last_hop_count =
↳ rt->path_get_max_hopcount();
51     // CHANGE
52     }
53     /* If the sequence number in the RREP is the
↳ same as for route entry but
54     with a smaller hop count - try to insert
↳ new forward path to (RREQ) dest. */
55     else if ( (rt->rt_seqno == rp->rp_dst_seqno)
↳ &&
56         //(rt->rt_advertised_hops >
↳ rp->rp_hop_count)
57         (rt->rt_mfactor <=
↳ rp->rp_speed_factor)) { //HM-AOMDV change
58
59         assert (rt->rt_flags == RTF_UP);
60         /* If the path already exists - increase
↳ path lifetime */
61         if ((forward_path =
↳ rt->disjoint_path_lookup(rp->rp_src,
↳ rp->rp_first_hop))) {
62             assert (forward_path->hopcount ==
↳ (rp->rp_hop_count+1));
63             forward_path->expire =
↳ max(forward_path->expire, CURRENT_TIME +
↳ rp->rp_lifetime);
64         }

```

```

65         /* If the path does not already exist,
↳ there is room for it and it
66         does not differ too much in length - we
↳ add the path */
67         else if (
↳ rt->new_disjoint_path(rp->rp_src,
↳ rp->rp_first_hop) &&
68             (rt->rt_num_paths_ <
↳ aomdv_max_paths_) &&
69             ((rp->rp_hop_count+1) -
↳ rt->path_get_min_hopcount() <=
↳ aomdv_prim_alt_path_len_diff_)
70             ) {
71             /* Insert forward path to RREQ
↳ destination. */
72             forward_path =
↳ rt->path_insert(rp->rp_src,
↳ rp->rp_hop_count+1, CURRENT_TIME +
↳ rp->rp_lifetime, rp->rp_first_hop,
↳ rp->rp_speed_factor);
73             // CHANGE
74             rt->rt_last_hop_count =
↳ rt->path_get_max_hopcount();
75             // CHANGE
76         }
77         /* Path did not exist nor could it be
↳ added - just drop packet. */
78         else {
79             Packet::free(p);
80             return;
81         }
82     }

```

```

83     /* The received RREP did not contain more
↳ recent information
84         than route table - so drop packet */
85     else {
86         Packet::free(p);
87         return;
88     }
89     /* If route is up */
90     if (rt->rt_flags == RTF_UP) {
91         // Reset the soft state
92         rt->rt_req_timeout = 0.0;
93         rt->rt_req_last_ttl = 0;
94         rt->rt_req_cnt = 0;
95
96         if (ih->daddr() == index) {
97             // I am the RREP destination
98
99 #ifdef DYNAMIC_RREQ_RETRY_TIMEOUT // This macro
↳ does not seem to be set.
100             if (rp->rp_type == AOMDVTYPE_RREP) {
101                 rt->rt_disc_latency[rt-
↳ >hist_idx] = (CURRENT_TIME -
↳ rp->rp_timestamp)
102                     / (double)
↳ (rp->rp_hop_count+1);
103                 // increment idx for next time
104                 rt->hist_idx = (rt->hist_idx +
↳ 1) % MAX_HISTORY;
105             }
106 #endif // DYNAMIC_RREQ_RETRY_TIMEOUT
107         }
108
109         /*

```

```

110         * Find out whether any buffered packet
↪ can benefit from the
111         * forward route.
112         */
113         Packet *buffered_pkt;
114         while ((buffered_pkt =
↪ rqueue.deque(rt->rt_dst)) {
115             if (rt && (rt->rt_flags == RTF_UP)) {
116                 forward(rt, buffered_pkt,
↪ NO_AOMDV_DELAY);
117             }
118         }
119
120     }
121     /* If I am the intended recipient of the RREP
↪ nothing more needs
122     to be done - so drop packet. */
123     if (ih->daddr() == index) {
124         Packet::free(p);
125         return;
126     }
127     /* If I am not the intended recipient of the
↪ RREP - check route
128     table for a path to the RREP dest (i.e. the
↪ RREQ source). */
129     rt0 = rtable.rt_lookup(ih->daddr());
130     b = id_get(ih->daddr(), rp->rp_bcast_id); //
↪ Check for <RREQ src IP, bcast ID> tuple
131
132 #ifdef AOMDV_NODE_DISJOINT_PATHS
133
134     if ( (rt0 == NULL) || (rt0->rt_flags !=
↪ RTF_UP) || (b == NULL) || (b->count) ) {

```

```

135         Packet::free(p);
136         return;
137     }
138
139     b->count = 1;
140     AOMDV_Path *reverse_path = rt0->path_find();
141
142     ch->addr_type() = AF_INET;
143     ch->next_hop_ = reverse_path->nexthop;
144     ch->xmit_failure_ = aomdv_rt_failed_callback;
145     ch->xmit_failure_data_ = (void*) this;
146
147     // route advertisement
148     rp->rp_src = index;
149     if (rt->rt_advertised_hops == INFINITY)
150         rt->rt_advertised_hops =
↳ rt->path_get_max_hopcount();
151     rp->rp_hop_count = rt->rt_advertised_hops;
152     rp->rp_first_hop =
↳ (rt->path_find())->lasthop;
153
154     reverse_path->expire = CURRENT_TIME +
↳ ACTIVE_ROUTE_TIMEOUT;
155
156     // CHANGE
157     rt->rt_error = true;
158     // CHANGE
159     forward(rt0, p, NO_AOMDV_DELAY);
160     // Scheduler::instance().schedule(target_,
↳ p, 0.);
161 #endif // AOMDV_NODE_DISJOINT_PATHS
162 #ifdef AOMDV_LINK_DISJOINT_PATHS

```

```

163     /* Drop the RREP packet if we do not have a
↳ path back to the source,
164     or the route is marked as down, or if we
↳ never received the original RREQ. */
165     if ( (rt0 == NULL) || (rt0->rt_flags !=
↳ RTF_UP) || (b == NULL) ) {
166         Packet::free(p);
167         return;
168     }
169     /* Make sure we don't answer along the same
↳ path twice in response
170     to a certain RREQ. Try to find an unused
↳ (reverse) path to forward the RREP. */
171     AOMDV_Path* reverse_path = NULL;
172     AOMDV_Path *r = rt0->rt_path_list.lh_first;
173     for(; r; r = r->path_link.le_next) {
174         if (b->reverse_path_lookup(r->nexthop,
↳ r->lasthop) == NULL) {
175             fprintf(stderr, "\tcycle cycle\n");
176             reverse_path = r;
177             break;
178         }
179     }
180     /* If an unused reverse path is found and the
↳ forward path (for
181     this RREP) has not already been replied -
↳ forward the RREP. */
182     if ( reverse_path &&
183         (b->forward_path_lookup(forward_path->
↳ nexthop, forward_path->lasthop) == NULL) )
↳ {
184         assert (forward_path->nexthop ==
↳ rp->rp_src);

```

```

185     assert (forward_path->lasthop ==
↳ rp->rp_first_hop);
186     /* Mark the forward and reverse path used
↳ to answer this RREQ as used. */
187     b->reverse_path_insert(reverse_path->
↳ nexthop,
↳ reverse_path->lasthop);
188     b->forward_path_insert(forward_path->
↳ nexthop,
↳ forward_path->lasthop);
189
190     ch->addr_type() = AF_INET;
191     ch->next_hop_ = reverse_path->nexthop;
192     ch->xmit_failure_ =
↳ aomdv_rt_failed_callback;
193     ch->xmit_failure_data_ = (void*) this;
194
195     // route advertisement
196     if (rt->rt_advertised_hops == INFINITY)
197         rt->rt_advertised_hops =
↳ rt->path_get_max_hopcount();
198     rp->rp_hop_count =
↳ rt->rt_advertised_hops;
199     rp->rp_src = index;
200
201     reverse_path->expire = CURRENT_TIME +
↳ ACTIVE_ROUTE_TIMEOUT;
202
203     // CHANGE
204     rt->rt_error = true;
205     // CHANGE
206     forwardReply(rt0, p, NO_AOMDV_DELAY); //
↳ CHANGE (previously used forward())

```

```
207         //  
↳ Scheduler::instance().schedule(target_, p,  
↳ 0.);  
208     }  
209     else {  
210         Packet::free(p);  
211         return;  
212     }  
213 #endif // AOMDV_LINK_DISJOINT_PATHS  
214 }
```

A.9 Kode implementasi `aomdv_rt_entry::path_insert`

```

1  AOMDV_Path*
2  aomdv_rt_entry::path_insert(nsaddr_t nexthop,
   ↪  u_int16_t hopcount, double expire_time,
   ↪  nsaddr_t lasthop, float mobility_factor) {
3      AOMDV_Path *path = new AOMDV_Path(nexthop,
   ↪  hopcount, expire_time, lasthop,
   ↪  mobility_factor);
4
5      assert(path);
6  #ifdef DEBUG
7      fprintf(stderr, "%s: (%d\t%d)\n",
   ↪  __FUNCTION__, path->nexthop, path->hopcount);
8  #endif // DEBUG
9
10     /*
11     * Insert path at the end of the list
12     */
13     AOMDV_Path *p = rt_path_list.lh_first;
14     if (p) {
15         for(; p->path_link.le_next &&
   ↪  p->mobility_factor >= path->mobility_factor;
   ↪  p = p->path_link.le_next)
16             /*Do nothing*/;
17         if(path->mobility_factor ==
   ↪  p->mobility_factor){
18             LIST_INSERT_AFTER(p, path,
   ↪  path_link);
19         }
20         else{
21             LIST_INSERT_BEFORE(p, path,
   ↪  path_link);

```

```
22         }
23     }
24     else {
25         LIST_INSERT_HEAD(&rt_path_list, path,
↪ path_link);
26     }
27     rt_num_paths_ += 1;
28
29     //HM-AOMDV code
30     rt_mfactor =
↪ rt_path_list.lh_first->mobility_factor;
31
32     return path;
33 }
```

A.10 Kode untuk mencetak rute yang dilalui oleh paket data

```
1 BEGIN {
2     sentPkts[0] = 0;
3     sendLine = 0;
4 }
5
6 $0 ~/^s.* AGT/{
7     sentPkts[$6] = $6" : "$3" "
8     sendLine ++ ;
9 }
10
11 $0 ~/^r.* AGT/{
12     sentPkts[$6] = sentPkts[$6]" "$3" finish"
13 }
14
15 $0 ~/^f.* RTR.* cbr/{
16     sentPkts[$6] = sentPkts[$6]" "$3" "
17 }
18
19 END {
20     for (i = 0; i < sendLine; i++)
21         printf("%s\n", sentPkts[i]);
22 }
```

BAB 6

PENUTUP

Pada bab ini akan diberikan kesimpulan yang diambil selama pengerjaan Tugas Akhir ini serta saran-saran tentang pengembangan yang dapat dilakukan terhadap tugas akhir ini di masa yang akan datang.

6.1 Kesimpulan

Kesimpulan dan saran yang diperoleh pada uji coba dan evaluasi adalah sebagai berikut:

1. Kecepatan relatif antar kendaraan dapat digunakan sebagai faktor perkiraan stabilitas jaringan.
2. Lokasi terputusnya jaringan berpengaruh pada PDR. Jika jaringan terputus di tengah jalur maka paket yang sudah terlanjur berada pada jaringan bergantung pada *relay node* terakhir untuk memberikan jalur alternatif sebelum proses *route discovery* dijalankan kembali. Sebaliknya jika jaringan terputus di dekat *node* pengirim perbaikan jalur dapat lebih cepat dilakukan.
3. Arah pergerakan kendaraan berpengaruh pada stabilitas jaringan yang digunakan.
4. Fluktuasi performa protokol HM-AOMDV memiliki pola yang mirip dengan protokol AOMDV dengan rata - rata PDR 8,5% hingga 10% lebih tinggi.

6.2 Saran

Saran yang dapat diberikan dari hasil pengujian ini adalah:

1. Diperlukan penelitian lebih lanjut untuk memodifikasi persamaan *mobility factor* untuk menggunakan arah laju kendaraan sebagai parameternya.

2. Urutan jalur alternatif pada *routing table* perlu diperbarui secara periodik agar penggantian jalur saat terjadi jaringan terputus dapat dilakukan dengan lebih cepat.
3. Ditambahkan fungsi *local repair* sehingga *relay node* dapat menemukan jalur baru menuju penerima dan paket data yang sudah terlanjur berada pada jaringan tidak langsung terbuang.

DAFTAR PUSTAKA

- [1] W. I. Lee, S. I. Chowdhury, G. Y. Kee, W. S. Baek, and J. Y. Pyun. Velocity aware multipath distance vector routing protocol for high mobility over vehicular ad-hoc networks. In *Multimedia and Ubiquitous Engineering (MUE), 2011 5th FTRA International Conference on*, pages 189--194, June 2011. doi: 10.1109/MUE.2011.42.
- [2] Y. B. Wang, T. Y. Wu, W. T. Lee, and C. H. Ke. A novel geographic routing strategy over vanet. In *Advanced Information Networking and Applications Workshops (WAINA), 2010 IEEE 24th International Conference on*, pages 873--879, April 2010. doi: 10.1109/WAINA.2010.151.
- [3] George Corser. VANET Introduction. <https://www.youtube.com/watch?v=DrH-1505-Mg>, May 2013. Accessed: 2016-06-28.
- [4] C.K. Toh. *Ad Hoc Mobile Wireless Networks: Protocols and Systems*. Prentice Hall PTR, 2002. ISBN 9780130078179.
- [5] Council of European Union. Directive 2010/40/EU of The European Parliament and of The Council of 7 July 2010, 2010. [http://http://eur-lex.europa.eu/LexUriServ/LexUriServ.do?uri=OJ:L:2010:207:0001:0013:EN:PDF](http://eur-lex.europa.eu/LexUriServ/LexUriServ.do?uri=OJ:L:2010:207:0001:0013:EN:PDF).
- [6] Christoph Sommer and Falko Dressler. *Vehicular Networking*. Cambridge University Press, 2015. ISBN 1107046718.
- [7] Mahesh K. Marina and Samir R. Das. Ad hoc on-demand multipath distance vector routing. *SIGMOBILE Mob. Comput. Commun. Rev.*, 6(3):92--93, June 2002. ISSN 1559-1662. doi: 10.1145/581291.581305. URL <http://doi.acm.org/10.1145/581291.581305>.

- [8] C. Perkins, E. Belding-Royer, and S. Das. Ad hoc on-demand distance vector (aodv) routing. RFC 3561, RFC Editor, July 2003. <http://www.rfc-editor.org/rfc/rfc3561.txt>.
- [9] Steven McCanne and Sally Floyd. ns Network Simulator. <http://www.isi.edu/nsnam/ns/>.
- [10] OpenStreetMap. <https://www.openstreetmap.org/>. Accessed: 2016-04-28.
- [11] Daniel Krajzewicz, Jakob Erdmann, Michael Behrisch, and Laura Bieker. Recent development and applications of SUMO - Simulation of Urban MObility. *International Journal On Advances in Systems and Measurements*, 5(3&4):128-138, December 2012.
- [12] Mark Anderson. Global positioning tech inspires do-it-yourself mapping project. <http://news.nationalgeographic.com/news/2006/10/061018-street-maps.html>, October 2006. Accessed: 2016-04-16.
- [13] David Wetherall. OTcl. <http://otcl-tclcl.sourceforge.net/otcl/>, 1997. Accessed: 2016-04-28.

BIODATA PENULIS



I Putu Pradnyana, biasa dipanggil Prad, dilahirkan di kota Mataram pada tanggal 27 September tahun 1994. Penulis adalah anak sulung dari dua bersaudara. Penulis menempuh pendidikan TK Pertiwi (1998-2000), SDN 5 Gianyar (2000-2006), SMPN 1 Gianyar (2006-2009), SMAN 1 Gianyar (2009-2012). Pada tahun 2012, penulis mengikuti SNMPTN Tulis dan diterima di Strata Satu Jurusan Teknik Informatika, Fakultas Teknologi Informasi, Institut Teknologi Sepuluh Nopember Surabaya angkatan 2012 yang terdaftar dengan NRP 5112100128. Di Jurusan Teknik Informatika ini, penulis mengambil bidang minat Arsitektur dan Jaringan Komputer (AJK). Selama menempuh kuliah, penulis juga pernah aktif sebagai anggota Departemen Riset dan Teknologi di Himpunan Mahasiswa Teknik Computer (HMTC). Penulis juga aktif sebagai anggota TPKH-ITS. Penulis dapat dihubungi melalui alamat e-mail prad.i@live.com.